

COMMITTENTE:



PROGETTAZIONE:



DIRETTRICE FERROVIARIA MESSINA - CATANIA - PALERMO

NUOVO COLLEGAMENTO PALERMO - CATANIA

U.O. INFRASTRUTTURE SUD

PROGETTO DEFINITIVO

TRATTA LERCARA DIR. - CALTANISSETTA XIRBI (LOTTO 3)

Opere di sostegno viabilità - Lotto 3b

NV63: Opere di protezione al soliflusso MU86G

Relazione di calcolo

SCALA:

-

COMMESSA LOTTO FASE ENTE TIPO DOC. OPERA/DISCIPLINA Progr. REV.

RS3T 30 D 78 CL MU86G0 002 A

Rev.	Descrizione	Redatto	Data	Verificato	Data	Approvato	Data	Autorizzato Data
A	Emissione Esecutiva	ATI Sintagma Rocksoil - Edin	Mar-2021	A.Di Costanzo <i>A. Di Costanzo</i>	Mar-2021	A.Barreca <i>A. Barreca</i>	Mar-2021	D.Tiberti Mar-2021

ITALFERR S.p.A.
Direzione Generale
UO Infrastrutture Sud
Dott. Ing. Paolo Tiberti
Ordine degli Ingegneri Prov. di Napoli n. 18076

INDICE

1.	PREMESSA	3
1.1	DESCRIZIONE DELL'OPERA	3
2.	NORMATIVA DI RIFERIMENTO	5
3.	DOCUMENTI DI RIFERIMENTO	5
4.	UNITÀ DI MISURA E SIMBOLOGIA	6
5.	CARATTERISTICHE DEI MATERIALI	7
5.1	CALCESTRUZZO	7
5.2	ACCIAIO IN BARRE AD ADERENZA MIGLIORATA B450C	8
6.	INQUADRAMENTO GEOTECNICO	10
7.	VALUTAZIONE AZIONE SISMICA	11
7.1	VITA NOMINALE	11
7.2	CLASSE D'USO	11
7.3	PERIODO DI RIFERIMENTO	11
7.4	PARAMETRI SISMICI	11
8.	CRITERI DI VERIFICA PARATIE	15
8.1	VERIFICHE GEOTECNICHE SLU IN CONDIZIONI STATICHE	15
8.2	VERIFICHE GEOTECNICHE SLV (CONDIZIONI SISMICHE)	15
9.	ANALISI DEI CARICHI	17
10.	COMBINAZIONI DI CARICO	18
11.	PROGETTO E VERIFICA DELLA PARATIA	20
11.1	DATI DI INPUT	20
11.2	FASI DI CALCOLO	22
11.3	RISULTATI DELLE ANALISI	25
11.4	VERIFICHE GEOTECNICHE	30
11.4.1	Verifiche SLE	30
11.4.2	Verifica di stabilità globale	31

11.1	VERIFICHE STRUTTURALI	32
11.1.1	VERIFICA A TAGLIO – CONDIZIONI STATICHE.....	33
11.1.2	VERIFICA A TAGLIO – CONDIZIONI SISMICHE	33
11.1.3	VERIFICHE A FLESSIONE - CONDIZIONI STATICHE.....	34
11.1.4	VERIFICHE STRUTTURALI – CONDIZIONI SISMICHE.....	37

1. PREMESSA

Il presente documento riguarda il dimensionamento delle opere di protezione al soliflusso MU86G dal km 0+317.00 al km 0+473.00 della viabilità NV63 nell'ambito del Progetto Definitivo della Direttoria Ferroviaria Messina – Catania – Palermo - Nuovo Collegamento Palermo – Catania, Tratta Lercara Dir. – Caltanissetta Xirbi (Lotto 3) dalla progressiva chilometrica 18+636 alla 46+703 (lotto 3b).

1.1 Descrizione dell'opera

L'opera viene suddivisa in due parti al variare dell'altezza di scavo:

- dalla progressiva 0+317.00 km alla 0+420.00 km circa, per uno sviluppo di 103 m, il manufatto è costituito da un muro di sostegno appartenente al "tipo 6": la soletta è costituita da una lunghezza e uno spessore rispettivamente di 2.60 m e 0.50 m, il piedritto ha uno spessore minimo in testa pari a 0.30 m e un'altezza massima di 2.96 m. Si esegue il calcolo e la verifica dell'opera considerando l'altezza massima del muro che si riscontra lungo la viabilità, per un'altezza del paramento quindi di 3 m;
- dalla progressiva 0+420.00 km alla 0+473.00 km circa, per uno sviluppo complessivo di 53 m, il manufatto è costituito da una paratia di pali appartenete al "tipo 2": presente un diametro di 600 mm e interasse 0.80 m, con lunghezza pari a 10 m che, sommato allo spessore di 1.20 di cordolo, si ottiene una lunghezza complessiva di 11.20 m. L'altezza di scavo massima è pari a 4.50 m.

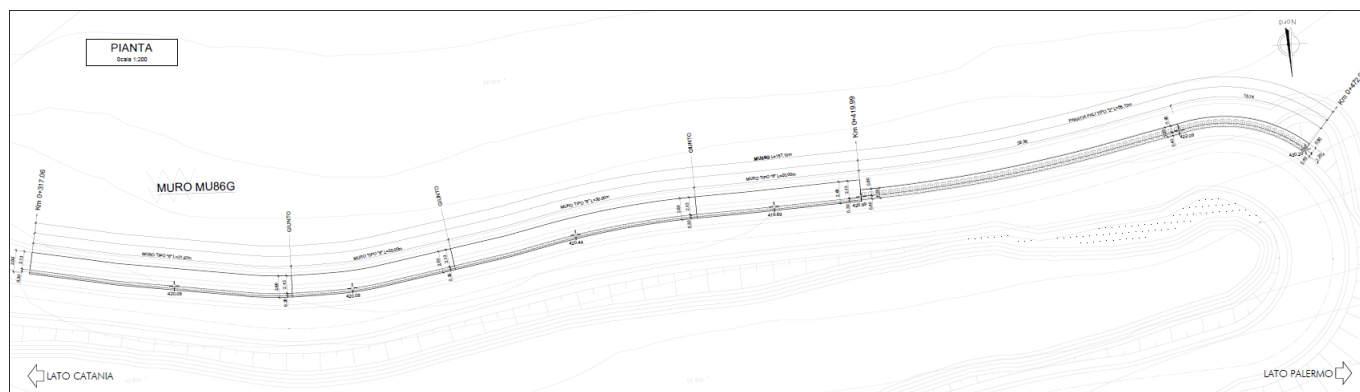


Figura 1-1 – Pianta MU86G.

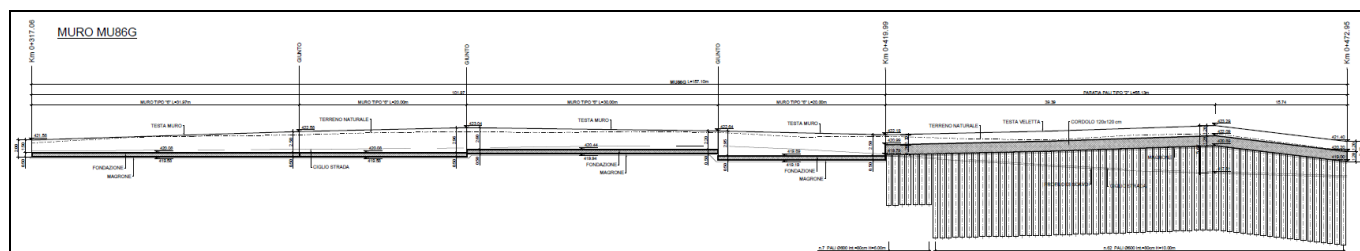


Figura 1-2 – Profilo MU86G.

Nel seguente elaborato viene eseguito il calcolo e la verifica della paratia di pali che si estende dalla progressiva 0+420.00 km alla 0+473.00 km.

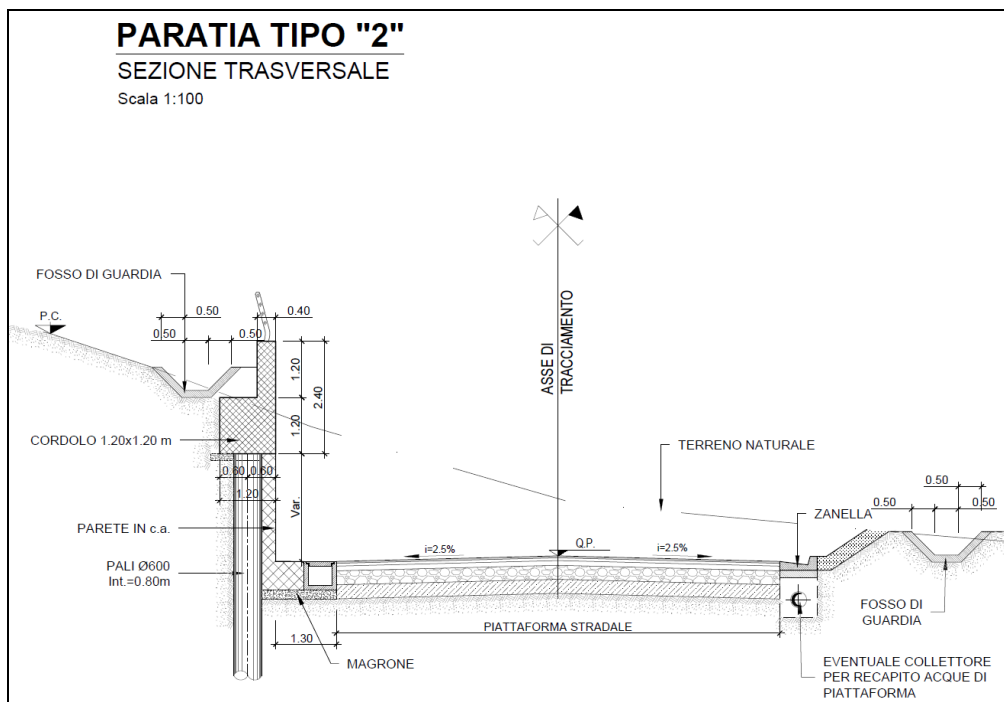


Figura 1-3 – Sezione trasversale paratia tipo 2.

	DIRETTRICE FERROVIARIA MESSINA – CATANIA – PALERMO NUOVO COLLEGAMENTO PALERMO – CATANIA TRATTA LERCARA DIR. – CALTANISSETTA XIRBI (LOTTO 3) OPERE DI SOSTEGNO VIABILITÀ – LOTTO 3b					
NV63: OPERE DI PROTEZIONE AL SOLIFLUSSO MU86G - RELAZIONE DI CALCOLO PARATIA	COMMESSA RS3T	LOTTO 30 D 78	CODIFICA CL	DOCUMENTO MU 86 G 0 002	REV. A	FOGLIO 5 di 39

2. **NORMATIVA DI RIFERIMENTO**

L'interpretazione dei risultati e la redazione della presente relazione sono stati effettuati nel rispetto della Normativa in vigore.

I principali riferimenti normativi sono i seguenti:

Norme Tecniche per le Costruzioni - D.M. 17-01-18 (NTC-2018);

Circolare n. 7 del 21 gennaio 2019 - Istruzioni per l'Applicazione dell'aggiornamento delle Norme Tecniche per le Costruzioni di cui al Decreto Ministeriale 17 gennaio 2018;

Regolamento (UE) N.1299/2014 del 18 novembre 2014 della Commissione Europea. Relativo alle specifiche tecniche di interoperabilità per il sottosistema "infrastruttura" del sistema ferroviario dell'Unione Europea.

Eurocodici EN 1991-2: 2003/AC:2010 – Eurocodice 1 – Parte 2

RFI DTC SI MA IFS 001 C del 21-12-18 - Manuale di Progettazione delle Opere Civili

3. **DOCUMENTI DI RIFERIMENTO**

Vengono presi a riferimento i seguenti elaborati grafici progettuali di pertinenza:

RS3T.3.0.D.78.PZ.MU.86.G.0.001: "NV63: Opere di protezione al soliflusso MU86G - Pianta, prospetto e sezioni"

RS3T.3.0.D.78.GE.GE.00.0.0.002: "Relazione geotecnica generale - Lotto 3b"

RS3T.3.0.D.78.F6.GE.00.0.0.047 - RS3T.3.0.D.78.F6.GE.00.0.0.048: "Profilo geotecnico viabilità NV63"

 ITALFERR GRUPPO FERROVIE DELLO STATO ITALIANE	DIRETTRICE FERROVIARIA MESSINA – CATANIA – PALERMO NUOVO COLLEGAMENTO PALERMO – CATANIA TRATTA LERCARA DIR. – CALTANISSETTA XIRBI (LOTTO 3) OPERE DI SOSTEGNO VIABILITÀ – LOTTO 3b					
	NV63: OPERE DI PROTEZIONE AL SOLIFLUSSO MU86G - RELAZIONE DI CALCOLO PARATIA	COMMESSA RS3T	LOTTO 30 D 78	CODIFICA CL	DOCUMENTO MU 86 G 0 002	REV. A

4. UNITÀ DI MISURA E SIMBOLOGIA

Si utilizza il Sistema Internazionale (SI):

unità di misura principali

N (Newton)	unità di forza
m (metro)	unità di lunghezza
kg (kilogrammo-massa)	unità di massa
s (secondo)	unità di tempo

unità di misura derivate **kN**

(kiloNewton)	10 ³ N
MN (megaNewton)	10 ⁶ N
kgf (kilogrammo-forza)	1 kgf = 9.81 N
cm (centimetro)	10 ⁻² m
mm (millimetro)	10 ⁻³ m
Pa (Pascal)	1 N/m ²
kPa (kiloPascal)	10 ³ N/m ²
MPa (megaPascal)	10 ⁶ N/m ²
N/m ³	(peso specifico)
g (accelerazione di gravità)	~9.81 m/s ²

corrispondenze notevoli

1 MPa = 1 N/mm ²
1 MPa ~ 10 kgf/cm ²
1 kN/m ³ ~ 100 kgf/m ³

Si utilizzano i seguenti principali simboli con le relative unità di misura normalmente adottate:

γ (gamma)	peso dell'unità di volume	(kN/m ³)
σ (sigma)	tensione normale	(N/mm ²)
τ (tau)	tensione tangenziale	(N / mm ²)

 ITALFERR GRUPPO FERROVIE DELLO STATO ITALIANE	DIRETTRICE FERROVIARIA MESSINA – CATANIA – PALERMO NUOVO COLLEGAMENTO PALERMO – CATANIA TRATTA LERCARA DIR. – CALTANISSETTA XIRBI (LOTTO 3) OPERE DI SOSTEGNO VIABILITÀ – LOTTO 3b					
	NV63: OPERE DI PROTEZIONE AL SOLIFLUSSO MU86G - RELAZIONE DI CALCOLO PARATIA	COMMESSA RS3T	LOTTO 30 D 78	CODIFICA CL	DOCUMENTO MU 86 G 0 002	REV. A

ε (epsilon) deformazione (m/m) -

ϕ (fi) angolo di resistenza ($^{\circ}$ sessagesimali)

5. CARATTERISTICHE DEI MATERIALI

Le caratteristiche dei materiali sono ricavate con riferimento alle indicazioni contenute nei capitoli 4 e 11 del D.M. 17 gennaio 2018. Nelle tabelle che seguono sono indicate le principali caratteristiche e i riferimenti dei paragrafi del D.M. citato.

5.1 Calcestruzzo

- Elemento strutturale: fondazione ed elevazione muro di sostegno

Classe di resistenza = C32/40;

R_{ck} = resistenza cubica = 40 N/mm²;

f_{ck} = resistenza cilindrica caratteristica = 0.83 R_{ck} = 33.2 N/ mm²;

f_{cm} = resistenza cilindrica media = $f_{ck} + 8$ = 41.2 N/ mm²;

f_{cd} = acc f_{ck}/γ_c = 18.8 N/mm²;

f_{ctm} = resistenza a trazione media = 0.30 x $f_{ck}^{2/3}$ = 3.1 N/ mm²;

f_{ctm} = resistenza a traz. per flessione media = 1.20 x f_{ctm} = 3.72 N/ mm²;

f_{ctk} = resistenza a traz. per flessione carati. = 0.70 x f_{ctm} = 2.60 N/ mm²;

E_{cm} = modulo elast. tra 0 e 0.40 f_{cm} = 22000 x $(f_{cm}/10)^{0.3}$ = 33642.8 N/ mm²;

Classe di esposizione XC4

Copriferro = 50 mm

Tolleranza di posa del copriferro = 10 mm

Condizioni ambientali: aggressive

Apertura fessure limite: w_1 = 0.2 mm

- Elemento strutturale: pali

Classe di resistenza = C25/30;

R_{ck} = resistenza cubica = 30 N/mm²;

f_{ck} = resistenza cilindrica caratteristica = 0.83 R_{ck} = 24.9 N/ mm²;

f_{cm} = resistenza cilindrica media = $f_{ck} + 8$ = 32.9 N/ mm²;

f_{cd} = acc f_{ck}/γ_c = 14.11N/mm²;

f_{ctm} = resistenza a trazione media = $0.30 \times f_{ck}^{2/3} = 2.56 \text{ N/mm}^2$;

f_{cfm} = resistenza a traz. per flessione media = $1.20 \times f_{ctm} = 3.07 \text{ N/mm}^2$;

f_{cfk} = resistenza a traz. per flessione carati. = $0.70 \times f_{cfm} = 2.15 \text{ N/mm}^2$;

E_{cm} = modulo elast. tra 0 e 0.40 $f_{cm} = 22000 \times (f_{cm}/10)^{0.3} = 31447.2 \text{ N/mm}^2$;

Classe di esposizione XC2

Copriferro = 60 mm

Tolleranza di posa del copriferro = 10 mm;

Condizioni ambientali: normali

Apertura fessure limite: $w_1 = 0.2 \text{ mm}$

5.2 Acciaio in barre ad aderenza migliorata B450C

L'acciaio per cemento armato B450C è caratterizzato dai seguenti valori nominali delle tensioni caratteristiche di snervamento e rottura da utilizzare nei calcoli:

$f_{y \text{ nom}}$	450 N/mm ²
$f_{t \text{ nom}}$	540 N/mm ²

Tabella 5-1 Tensioni caratteristiche acciaio.

E deve rispettare i requisiti indicati nella seguente tabella:

CARATTERISTICHE	REQUISITI	FRATTILE (%)
Tensione caratteristica di snervamento f_{yk}	$\geq f_{y \text{ nom}}$	5.0
Tensione caratteristica di rottura f_{tk}	$\geq f_{t \text{ nom}}$	5.0
$(f_t/f_y)_k$	$\geq 1,15$	10.0
$(f_v/f_{vnom})_k$	$< 1,35$	10.0
Allungamento $(A_{gt})_k$	$\geq 7,5 \%$	10.0
Diametro del mandrino per prove di piegamento a 90 ° e successivo raddrizzamento senza cricche:		
$\phi < 12 \text{ mm}$	4 ϕ	
$12 \leq \phi \leq 16 \text{ mm}$	5 ϕ	
per $16 < \phi \leq 25 \text{ mm}$	8 ϕ	
per $25 < \phi \leq 40 \text{ mm}$	10 ϕ	

Tabella 5-2 Requisiti acciaio.



DIRETTRICE FERROVIARIA MESSINA – CATANIA – PALERMO
NUOVO COLLEGAMENTO PALERMO – CATANIA
TRATTA LERCARA DIR. – CALTANISSETTA XIRBI (LOTTO 3)
OPERE DI SOSTEGNO VIABILITÀ – LOTTO 3b

NV63: OPERE DI PROTEZIONE AL SOLIFLUSSO
MU86G - RELAZIONE DI CALCOLO PARATIA

COMMESSA	LOTTO	CODIFICA	DOCUMENTO	REV.	FOGLIO
RS3T	30 D 78	CL	MU 86 G 0 002	A	9 di 39

Inoltre si ha:

- $E_s = 210000 \text{ N/mm}^2$
- Sovrapposizioni barre $\geq 40\phi$

Resistenza di calcolo dell'acciaio per la verifica agli SLU ($\gamma_s=1.15$):

Resistenza di calcolo a rottura per trazione e deformazione corrispondente:

- $f_{yd} = f_{yk}/\gamma_s \quad 391.3 \text{ N/mm}^2$
- $\epsilon_{yd} = f_{yd}/E_s \quad 0.186\%$

6. INQUADRAMENTO GEOTECNICO

Il modello geotecnico di calcolo è stato definito sulla base di quanto riportato nella relazione geotecnica alla quale si rimanda per qualsiasi approfondimento. Si riportano a seguire la stratigrafia e i parametri meccanici utilizzati nei calcoli (valori medi dell'intervallo di variabilità riportato nella relazione geotecnica).

Unità litologiche da p.c.	da [m]	a [m]	γ [kN/m ³]	c'_k [kPa]	ϕ'_k [°]
AV	0.00	10	20	15	22
FYN4	10	-	20	20	21

Tabella 6-1 – Valori di calcolo dei parametri geotecnici del terreno

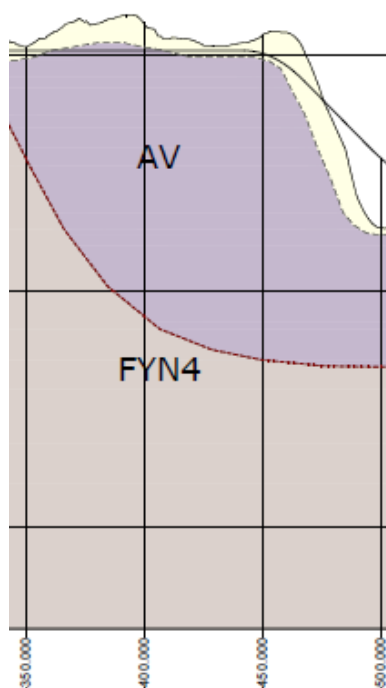


Figura 6-1 – Stralcio del profilo geotecnico.

La falda è posta ad una profondità superiore a 30.0 m dal piano campagna.

Per le caratteristiche del terreno di rinterro si assumono i seguenti parametri:

- peso volume $\gamma = 19 \text{ kN/m}^3$;
- angolo d'attrito, $\phi' = 30^\circ$;
- coesione efficace $c' = 0 \text{ kPa}$.

 ITALFERR GRUPPO FERROVIE DELLO STATO ITALIANE	DIRETTRICE FERROVIARIA MESSINA – CATANIA – PALERMO NUOVO COLLEGAMENTO PALERMO – CATANIA TRATTA LERCARA DIR. – CALTANISSETTA XIRBI (LOTTO 3) OPERE DI SOSTEGNO VIABILITÀ – LOTTO 3b					
	NV63: OPERE DI PROTEZIONE AL SOLIFLUSSO MU86G - RELAZIONE DI CALCOLO PARATIA	COMMESSA RS3T	LOTTO 30 D 78	CODIFICA CL	DOCUMENTO MU 86 G 0 002	REV. A

7. VALUTAZIONE AZIONE SISMICA

7.1 Vita nominale

La vita nominale di un'opera strutturale V_N è intesa come il numero di anni nel quale la struttura, purché soggetta alla manutenzione ordinaria, deve potere essere usata per lo scopo al quale è destinata. Nel presente caso l'opera viene inserita nella seguente tipologia di costruzione:

2) Costruzioni con livelli di prestazioni ordinari;

La cui vita nominale è pari a: 75 anni.

7.2 Classe d'uso

In presenza di azioni sismiche, con riferimento alle conseguenze di un'interruzione di operatività o di un eventuale collasso, l'opera appartiene alla seguente classe d'uso:

Classe III: Costruzioni il cui uso preveda affollamenti significativi. Industrie con attività pericolose per l'ambiente. Reti viarie extraurbane non ricadenti in Classe d'uso IV. Ponti e reti ferroviarie la cui interruzione provochi situazioni di emergenza. Dighe rilevanti per le conseguenze di un loro eventuale collasso.

Il coefficiente d'uso è pari a 1.50.

7.3 Periodo di riferimento

Le azioni sismiche su ciascuna costruzione vengono valutate in relazione al periodo di riferimento V_R ricavato, per ciascun tipo di costruzione, moltiplicandone la vita nominale V_N per il coefficiente d'uso C_u . Pertanto $V_R = 75 \times 1.5 = 112.5$ anni.

7.4 Parametri sismici

Fissata la vita di riferimento V_R , i due parametri T_R e P_{VR} sono immediatamente esprimibili, l'uno in funzione dell'altro, mediante l'espressione:

$$T_R = -\frac{V_R}{\ln(1 - P_{VR})} = -\frac{C_u V_N}{\ln(1 - P_{VR})}$$

Stati Limite	P_{VR} : Probabilità di superamento nel periodo di riferimento V_R	
Stati limite di esercizio	SLO	81%
	SLD	63%
Stati limite ultimi	SLV	10%
	SLC	5%

Tabella 7-1 – Probabilità di superamento al variare dello stato limite considerato.

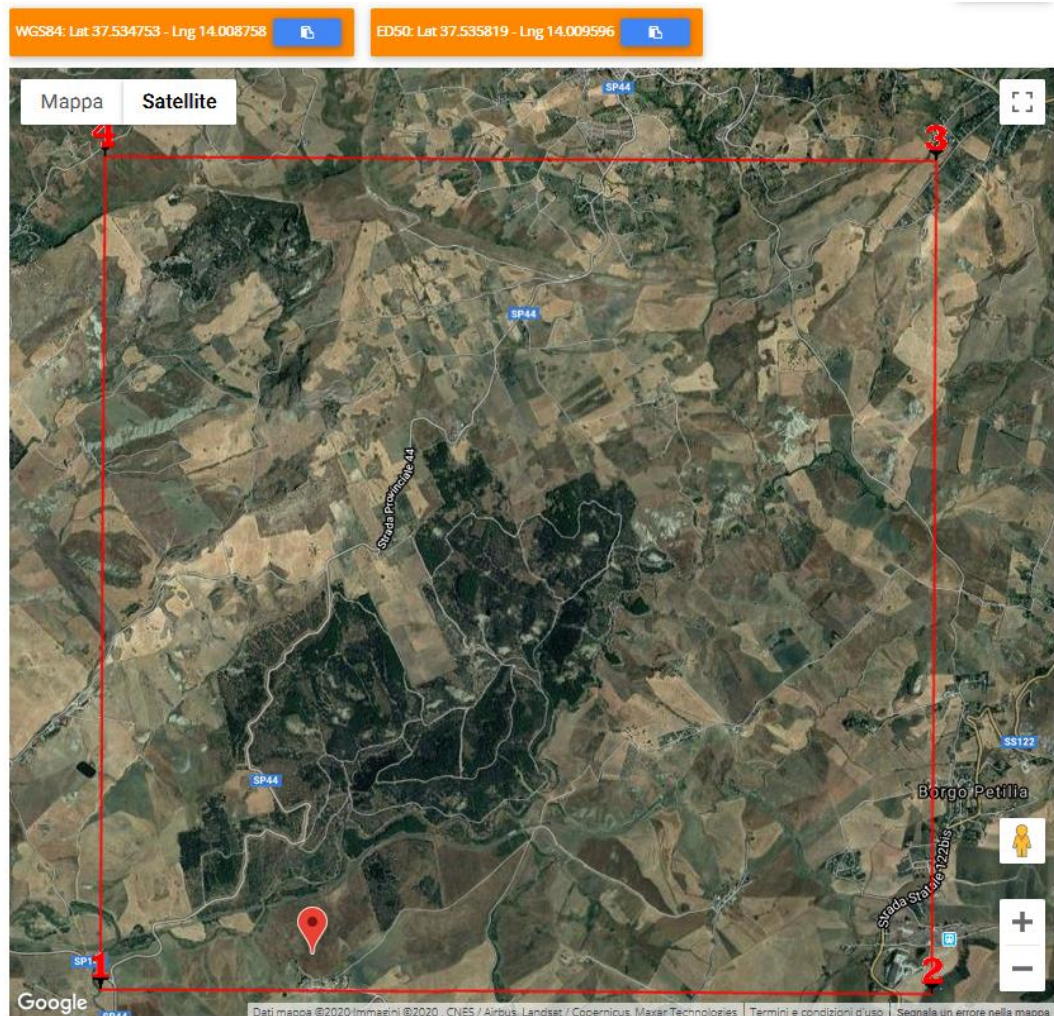


Figura 7-1 –Localizzazione del sito.

 ITAFERR GRUPPO FERROVIE DELLO STATO ITALIANE	DIRETTRICE FERROVIARIA MESSINA – CATANIA – PALERMO NUOVO COLLEGAMENTO PALERMO – CATANIA TRATTA LERCARA DIR. – CALTANISSETTA XIRBI (LOTTO 3) OPERE DI SOSTEGNO VIABILITÀ – LOTTO 3b					
	NV63: OPERE DI PROTEZIONE AL SOLIFLUSSO MU86G - RELAZIONE DI CALCOLO PARATIA	COMMESSA RS3T	LOTTO 30 D 78	CODIFICA CL	DOCUMENTO MU 86 G 0 002	REV. A

Da cui si ottiene la seguente tabella:

Stati limite

	Classe Edificio				
	III. Affollamento significativo...				
	Vita Nominale	75			
	Interpolazione	Media ponderata			
CU = 1.5					
Stato Limite	Tr [anni]	a_g [g]	Fo	Tc* [s]	
Operatività (SLO)	68	0.039	2.521	0.285	
Danno (SLD)	113	0.047	2.506	0.317	
Salvaguardia vita (SLV)	1068	0.095	2.665	0.454	
Prevenzione collasso (SLC)	2193	0.115	2.742	0.505	
Periodo di riferimento per l'azione sismica:	112.5				

Tabella 7-2 – Parametri relativi all'azione sismica.

Ai fini della definizione dell'azione sismica di progetto, si rende necessario valutare l'effetto della risposta sismica locale. Per la definizione dell'azione sismica si può fare riferimento a un approccio semplificato, che si basa sull'individuazione delle categorie di sottosuolo di riferimento in accordo a quanto indicato nel § 3.2.2 delle NTC2018. I terreni di progetto possono essere caratterizzati come appartenenti a terreni di Categoria C. In condizioni topografiche superficiali semplici si può adottare la seguente classificazione.

Categoria	Caratteristiche della superficie topografica
T1	Superficie pianeggiante, pendii e rilievi isolati con inclinazione media $i \leq 15^\circ$
T2	Pendii con inclinazione media $i > 15^\circ$
T3	Rilievi con larghezza in cresta molto minore che alla base e inclinazione media $15^\circ \leq i \leq 30^\circ$
T4	Rilievi con larghezza in cresta molto minore che alla base e inclinazione media $i > 30^\circ$

Tabella 7-3 – Categorie topografiche.

 ITAFERR GRUPPO FERROVIE DELLO STATO ITALIANE	DIRETTRICE FERROVIARIA MESSINA – CATANIA – PALERMO NUOVO COLLEGAMENTO PALERMO – CATANIA TRATTA LERCARA DIR. – CALTANISSETTA XIRBI (LOTTO 3) OPERE DI SOSTEGNO VIABILITÀ – LOTTO 3b					
	NV63: OPERE DI PROTEZIONE AL SOLIFLUSSO MU86G - RELAZIONE DI CALCOLO PARATIA	COMMESSA RS3T	LOTTO 30 D 78	CODIFICA CL	DOCUMENTO MU 86 G 0 002	REV. A

L'area interessata risulta classificabile come T1.

In riferimento a quanto indicato nel §3.2.3.2.1 delle NTC2018 per la definizione dello spettro elastico in accelerazione è necessario valutare il valore del coefficiente $S = S_s S_T$ e di C_c in base alla categoria di sottosuolo e alle condizioni topografiche; si fa riferimento nella valutazione dei coefficienti alle tabelle di seguito riportate:

Categoria sottosuolo	S_s	C_c
A	1,00	1,00
B	$1,00 \leq 1,40 - 0,40 \cdot F_o \cdot \frac{a_g}{g} \leq 1,20$	$1,10 \cdot (T_c^*)^{-0,20}$
C	$1,00 \leq 1,70 - 0,60 \cdot F_o \cdot \frac{a_g}{g} \leq 1,50$	$1,05 \cdot (T_c^*)^{-0,33}$
D	$0,90 \leq 2,40 - 1,50 \cdot F_o \cdot \frac{a_g}{g} \leq 1,80$	$1,25 \cdot (T_c^*)^{-0,50}$
E	$1,00 \leq 2,00 - 1,10 \cdot F_o \cdot \frac{a_g}{g} \leq 1,60$	$1,15 \cdot (T_c^*)^{-0,40}$

Tabella 7-4 – Espressioni di S_s e C_c .

Categoria topografica	Ubicazione dell'opera o dell'intervento	S_T
T1	-	1,0
T2	In corrispondenza della sommità del pendio	1,2
T3	In corrispondenza della cresta di un rilievo con pendenza media minore o uguale a 30°	1,2
T4	In corrispondenza della cresta di un rilievo con pendenza media maggiore di 30°	1,4

Tabella 7-5 – Valori massimi dei coefficienti di amplificazione topografica S_T .

Nel caso in esame quindi si ha:

 Cat. Sottosuolo	C			
 Cat. Topografica	T1			
	SLO	SLD	SLV	SLC
SS Amplificazione stratigrafica	1,50	1,50	1,50	1,50
CC Coeff. funz categoria	1,59	1,53	1,36	1,32
ST Amplificazione topografica	1,00	1,00	1,00	1,00

	DIRETTRICE FERROVIARIA MESSINA – CATANIA – PALERMO NUOVO COLLEGAMENTO PALERMO – CATANIA TRATTA LERCARA DIR. – CALTANISSETTA XIRBI (LOTTO 3) OPERE DI SOSTEGNO VIABILITÀ – LOTTO 3b					
	NV63: OPERE DI PROTEZIONE AL SOLIFLUSSO MU86G - RELAZIONE DI CALCOLO PARATIA	COMMESSA RS3T	LOTTO 30 D 78	CODIFICA CL	DOCUMENTO MU 86 G 0 002	REV. A

8. CRITERI DI VERIFICA PARATIE

8.1 Verifiche geotecniche SLU in condizioni statiche

Le verifiche delle paratie sono state condotte nei riguardi dei seguenti stati limite ultimi (SLU):

- collasso del complesso opera-terreno;
- instabilità globale dell'insieme terreno-opera;
- raggiungimento della resistenza degli elementi strutturali.

Per le strutture di sostegno flessibili si adotta l'Approccio Progettuale 1 con le due combinazioni di coefficienti parziali (tabelle 6.2.I, 6.2.II e 6.5.I del DM 17/01/2018):

- combinazione 1: A1 + M1 + R1
- combinazione 2: A2 + M2 + R1.

Il dimensionamento geotecnico dell'opera è stato condotto con la verifica di stati limite ultimi GEO, applicando la Combinazione 2 (A2+M2+R1); per le verifiche di stati limite ultimi STR l'analisi è stata invece condotta con la combinazione 1 (A1+M1+R1).

Al fine di rispettare le richieste della Normativa in merito al modello geometrico di riferimento (§6.5.2.2 DM 17/01/2018) nel caso di opere in cui la funzione di sostegno è affidata alla resistenza del volume di terreno a valle dell'opera, la quota di valle è diminuita di:

$$\Delta h = \min (0.5; 10\% \Delta t)$$

in cui Δt è la differenza di quota tra il livello inferiore di vincolo e il fondo scavo.

Per le verifiche di stabilità globale è stato applicato l'Approccio 1- Combinazione 2 (A2+M2+R2 – tab. 6.2.I, 6.2.II e 6.8.I del DM 17/01/2018).

Le verifiche sono state condotte mediante l'ausilio del codice di calcolo Paratie Plus.

8.2 Verifiche geotecniche SLV (condizioni sismiche)

Le verifiche in condizioni sismiche sono state condotte con riferimento allo stato limite ultimo di salvaguardia della vita (SLV), con riferimento alla configurazione finale dell'opera di sostegno. Per le verifiche in condizioni sismiche i coefficienti parziali sulle azioni e sui parametri geotecnici sono pari all'unità. Si adotta il metodo pseudostatico, calcolando il coefficiente sismico orizzontale secondo le prescrizioni della normativa (DM 17/01/2018):

$$k_h = \alpha \cdot \beta \cdot \left(\frac{a_{\max}}{g} \right)$$

dove:

- a_{\max} è l'accelerazione orizzontale massima attesa al sito,

	DIRETTRICE FERROVIARIA MESSINA – CATANIA – PALERMO NUOVO COLLEGAMENTO PALERMO – CATANIA TRATTA LERCARA DIR. – CALTANISSETTA XIRBI (LOTTO 3) OPERE DI SOSTEGNO VIABILITÀ – LOTTO 3b					
NV63: OPERE DI PROTEZIONE AL SOLIFLUSSO MU86G - RELAZIONE DI CALCOLO PARATIA	COMMESSA RS3T	LOTTO 30 D 78	CODIFICA CL	DOCUMENTO MU 86 G 0 002	REV. A	FOGLIO 16 di 39

- α è il coefficiente di deformabilità (Figura 7.11.2 del DM 17/01/2018);
- β è il coefficiente di spostamento (Figura 7.11.3 del DM 17/01/2018).

Per la definizione dell'azione sismica si rimanda al paragrafo 7.4. L'effetto del sisma sulle strutture di sostegno è ottenuto applicando un incremento di spinta (cfr § 7.11.6.3.1 del D.M. 17/01/2018 e § C7.11.6.3 della Circolare 7/19) del terreno valutato secondo la teoria di Mononobe-Okabe, agente direttamente sulla paratia secondo una distribuzione uniforme sull'intera altezza dell'opera.

$$\Delta S_E = \left[\frac{1}{2} \gamma \cdot H^2 \cdot (K_{aE} - K_a) \right] / H,$$

dove: γ rappresenta il peso dell'unità di volume della formazione con la quale l'opera interagisce, H rappresenta l'altezza totale dell'opera (comprensiva del tratto infisso), K_{aE} e K_a rappresentano i coefficienti di spinta attiva in condizioni sismiche e statiche rispettivamente.

Per la valutazione della spinta passiva si assume $\alpha=1$ (§7.11.6.3 del DM 17/01/2018). Il coefficiente sismico verticale, k_v , si assume pari a 0 (§7.11.6.3 del DM 17/01/2018).

I coefficienti di spinta attiva sono determinati attraverso la relazione di Mononobe (1929) e Okabe (1926). I coefficienti di spinta passiva sono determinati attraverso la relazione di Lancellotta (2007). L'angolo di attrito terreno/struttura, δ , si assume pari a 1/2 della resistenza al taglio del terreno naturale.

	DIRETTRICE FERROVIARIA MESSINA – CATANIA – PALERMO NUOVO COLLEGAMENTO PALERMO – CATANIA TRATTA LERCARA DIR. – CALTANISSETTA XIRBI (LOTTO 3) OPERE DI SOSTEGNO VIABILITÀ – LOTTO 3b					
NV63: OPERE DI PROTEZIONE AL SOLIFLUSSO MU86G - RELAZIONE DI CALCOLO PARATIA	COMMESSA RS3T	LOTTO 30 D 78	CODIFICA CL	DOCUMENTO MU 86 G 0 002	REV. A	FOGLIO 17 di 39

9. ANALISI DEI CARICHI

Le azioni considerate per la verifica delle strutture di sostegno sono le seguenti:

- **azioni permanenti:** peso proprio degli elementi strutturali, spinta del terreno a monte e a valle dell'opera, carico fittizio simulante l'inclinazione del pendio a monte dell'opera opportunamente discretizzato in modo da simulare fedelmente il reale andamento del profilo topografico del pendio.
- **azioni variabili:** carico variabile sul piano campagna a monte della struttura di sostegno, Q_{1M} , atto a schematizzare nella fase costruttiva l'eventuale presenza di sovraccarichi di varia natura connessi alla realizzazione delle opere.
- **azione sismica:** l'accelerazione orizzontale massima attesa al suolo è definita nel paragrafo 7.4.

10. COMBINAZIONI DI CARICO

Le combinazioni di carico prese in considerazione nelle verifiche sono state definite in base a quanto prescritto dalle NTC-2018 al par.2.5.3:

- Combinazione fondamentale, generalmente impiegata per gli stati limite ultimi (SLU):

$$\gamma_{G1} \cdot G_1 + \gamma_{G2} \cdot G_2 + \gamma_P \cdot P + \gamma_{Q1} \cdot Q_{k1} + \gamma_{Q2} \cdot \psi_{02} \cdot Q_{k2} + \gamma_{Q3} \cdot \psi_{03} \cdot Q_{k3} + \dots \quad [2.5.1]$$

- Combinazione caratteristica, cosiddetta rara, generalmente impiegata per gli stati limite di esercizio (SLE) irreversibili:

$$G_1 + G_2 + P + Q_{k1} + \psi_{02} \cdot Q_{k2} + \psi_{03} \cdot Q_{k3} + \dots \quad [2.5.2]$$

- Combinazione frequente, generalmente impiegata per gli stati limite di esercizio reversibili:

$$G_1 + G_2 + P + \psi_{11} \cdot Q_{k1} + \psi_{22} \cdot Q_{k2} + \psi_{23} \cdot Q_{k3} + \dots \quad [2.5.3]$$

- Combinazione quasi permanente (SLE), generalmente impiegata per gli effetti a lungo termine:

$$G_1 + G_2 + P + \psi_{21} \cdot Q_{k1} + \psi_{22} \cdot Q_{k2} + \psi_{23} \cdot Q_{k3} + \dots \quad [2.5.4]$$

- Combinazione sismica, impiegata per gli stati limite ultimi e di esercizio connessi all'azione sismica E:

$$E + G_1 + G_2 + P + \psi_{21} \cdot Q_{k1} + \psi_{22} \cdot Q_{k2} + \dots \quad [2.5.5]$$

- Combinazione eccezionale, impiegata per gli stati limite ultimi connessi alle azioni eccezionali A:

$$G_1 + G_2 + P + A_d + \psi_{21} \cdot Q_{k1} + \psi_{22} \cdot Q_{k2} + \dots \quad [2.5.6]$$

Gli effetti dell'azione sismica saranno valutati tenendo conto delle masse associate ai seguenti carichi gravitazionali:

$$G_1 + G_2 + \sum_j \psi_{2j} Q_{kj} \quad [2.5.7]$$

Per le verifiche si deve tenere conto dei coefficienti parziali per le azioni, per i parametri geotecnici e per le resistenze.

	Effetto	Coefficiente Parziale γ_f (o γ_E)	EQU	(A1)	(A2)
Carichi permanenti G_1	Favorevole	γ_{G1}	0,9	1,0	1,0
	Sfavorevole		1,1	1,3	1,0
Carichi permanenti $G_2^{(1)}$	Favorevole	γ_{G2}	0,8	0,8	0,8
	Sfavorevole		1,5	1,5	1,3
Azioni variabili Q	Favorevole	γ_{Qk}	0,0	0,0	0,0
	Sfavorevole		1,5	1,5	1,3

⁽¹⁾ Per i carichi permanenti G_2 si applica quanto indicato alla Tabella 2.6.I. Per la spinta delle terre si fa riferimento ai coefficienti γ_{Gk}

Tabella 10-1 - Coefficienti parziali di sicurezza per le combinazioni di carico agli SLU.

 ITALFERR GRUPPO FERROVIE DELLO STATO ITALIANE	DIRETTRICE FERROVIARIA MESSINA – CATANIA – PALERMO NUOVO COLLEGAMENTO PALERMO – CATANIA TRATTA LERCARA DIR. – CALTANISSETTA XIRBI (LOTTO 3) OPERE DI SOSTEGNO VIABILITÀ – LOTTO 3b					
	NV63: OPERE DI PROTEZIONE AL SOLIFLUSSO MU86G - RELAZIONE DI CALCOLO PARATIA	COMMESSA RS3T	LOTTO 30 D 78	CODIFICA CL	DOCUMENTO MU 86 G 0 002	REV. A

Parametro	Grandezza alla quale applicare il coefficiente parziale	Coefficiente parziale γ_M	(M1)	(M2)
Tangente dell'angolo di resistenza al taglio	$\tan \varphi'_k$	$\gamma_{\varphi'}$	1,0	1,25
Coesione efficace	c'_k	γ_c	1,0	1,25
Resistenza non drenata	c_{uk}	γ_{cu}	1,0	1,4
Peso dell'unità di volume	γ_γ	γ_γ	1,0	1,0

Tabella 10-2 - Coefficienti parziali per i parametri geotecnici del terreno.

Verifica	Coefficiente parziale (R3)
Capacità portante della fondazione	$\gamma_R = 1,4$
Scorrimento	$\gamma_R = 1,1$
Ribaltamento	$\gamma_R = 1,15$
Resistenza del terreno a valle	$\gamma_R = 1,4$

Tabella 10-3 – Coefficienti parziali γ_R per le verifiche agli stati limite ultimi dei muri di sostegno.

COEFFICIENTE	R2
γ_R	1,1

Tabella 10-4 – Coefficienti parziali per le verifiche di sicurezza SLU di opere di materiali sciolti e fronti di scavo.

Le combinazioni sismiche sono effettuate con ponendo però pari all'unità i coefficienti parziali sulle azioni e sui parametri geotecnici e impiegando le resistenze di progetto con gli opportuni coefficienti parziali γ_R .

Verifica	Coefficiente parziale γ_R
Carico limite	1.2
Scorrimento	1.0
Ribaltamento	1.0
Resistenza del terreno a valle	1.2

Tabella 10-5 – Coefficienti parziali γ_R per le verifiche agli stati limite SLV dei muri di sostegno.

COEFFICIENTE	R2
γ_R	1.2

Tabella 10-6 – Coefficienti parziali per le verifiche di sicurezza SLV di opere di materiali sciolti e fronti di scavo.

11. PROGETTO E VERIFICA DELLA PARATIA

11.1 Dati di input

Sono di seguito descritti il modello e le principali caratteristiche dell'opera strutturale adottate nelle analisi di verifica.

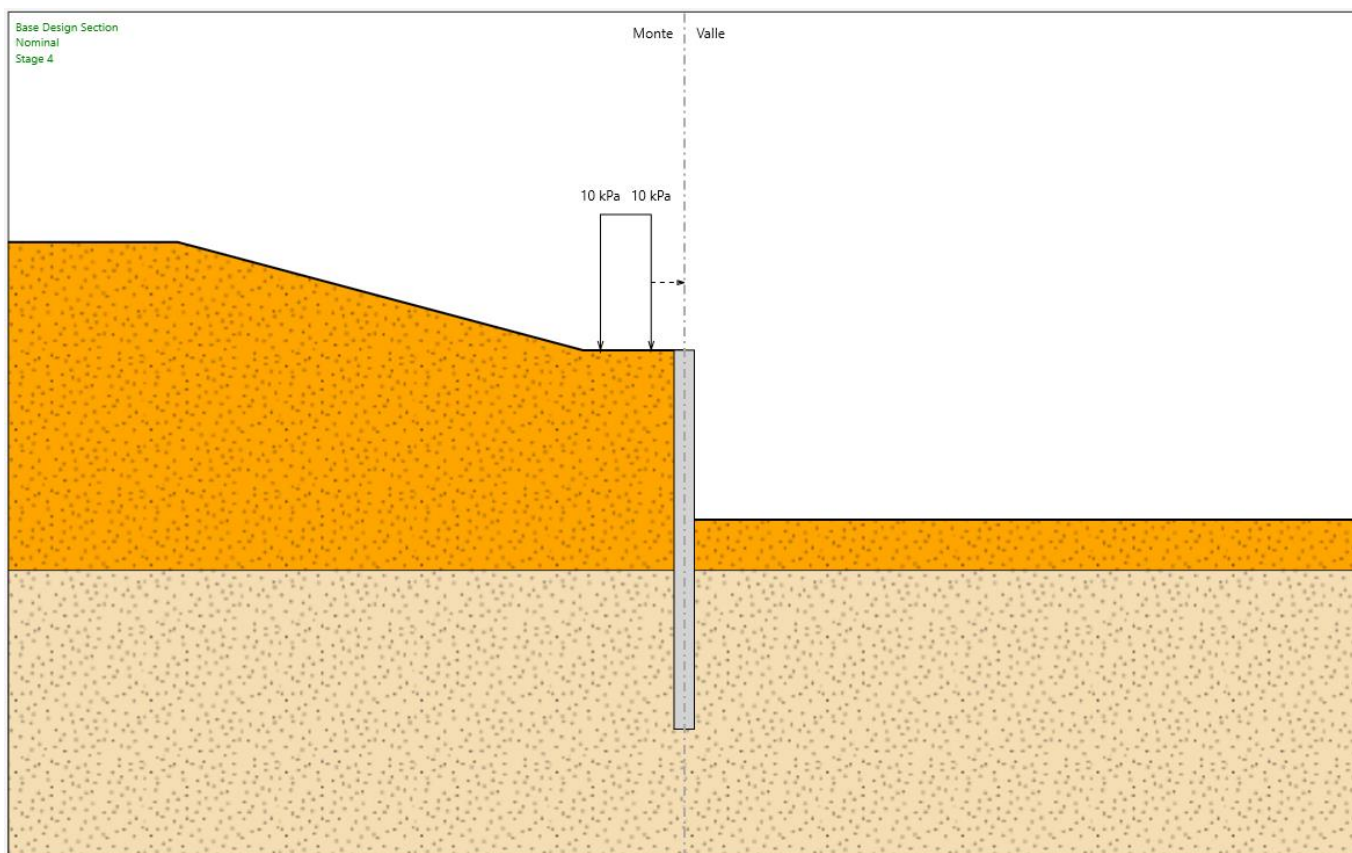


Figura 11-1. Schema di calcolo paratia

Tipologia struttura di sostegno	pali $\phi 600$ ad interasse 0.80 m
Altezza totale paratia	$H_{tot} = 11.20$ m (1.20 m cordolo + 10.0 m palo)
Altezza di scavo (da estradosso cordolo)	$H = 4.5$ m
Altezza di scavo di calcolo (DM 2018 § 6.5.2.2) (da estradosso cordolo)	$H_1 = 5$ m
Inclinazione del piano campagna a monte	12.0°
Inclinazione del piano campagna a valle	0.0°
Sovraccarichi permanenti a monte	$g = 0$ kPa
Sovraccarichi permanenti a valle	$g = 0$ kPa
Sovraccarichi accidentali a monte	$q = 10$ kPa
Sovraccarichi variabili a valle	$q = 0$ kPa

Tabella 11-1 - Caratteristiche geometriche della sezione di calcolo.

U.G.	da	a	γ	c'	cu	ϕ'	E_{op}	ν
[-]	[m]	[m]	[kN/m ³]	[kPa]	[kPa]	[°]	[MPa]	[-]
AV	0	10	20	18	100	20	250	0.3
FYN	10	-	20	18	100	21	20	0.3

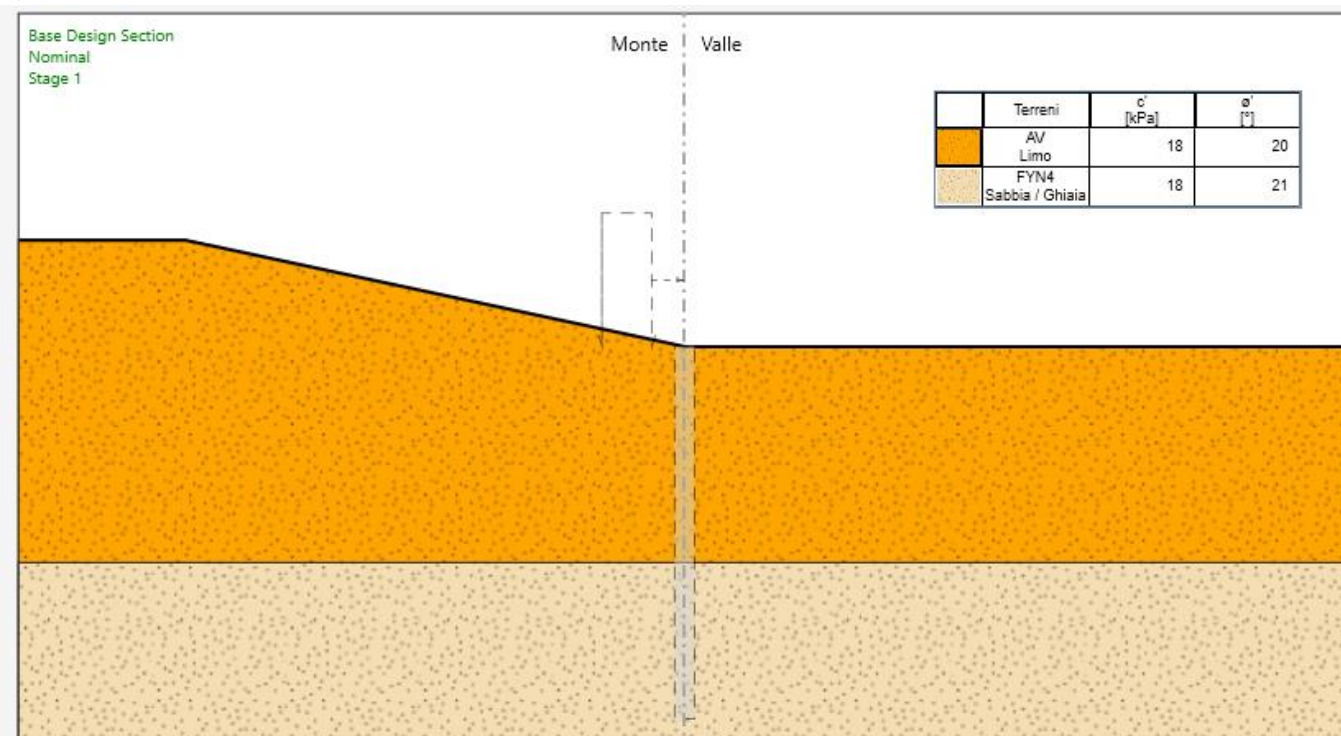
Tabella 11-2 - Parametri geotecnici di calcolo

U.G.	Condizione	Cat. sottosuolo	Cat. topografica	ag (g)	Ss	amax/g
[-]	[-]	[-]	[kN/m ³]	[-]	[-]	[-]
FYN	SLV	C	T1	0.095	1.5	0.142

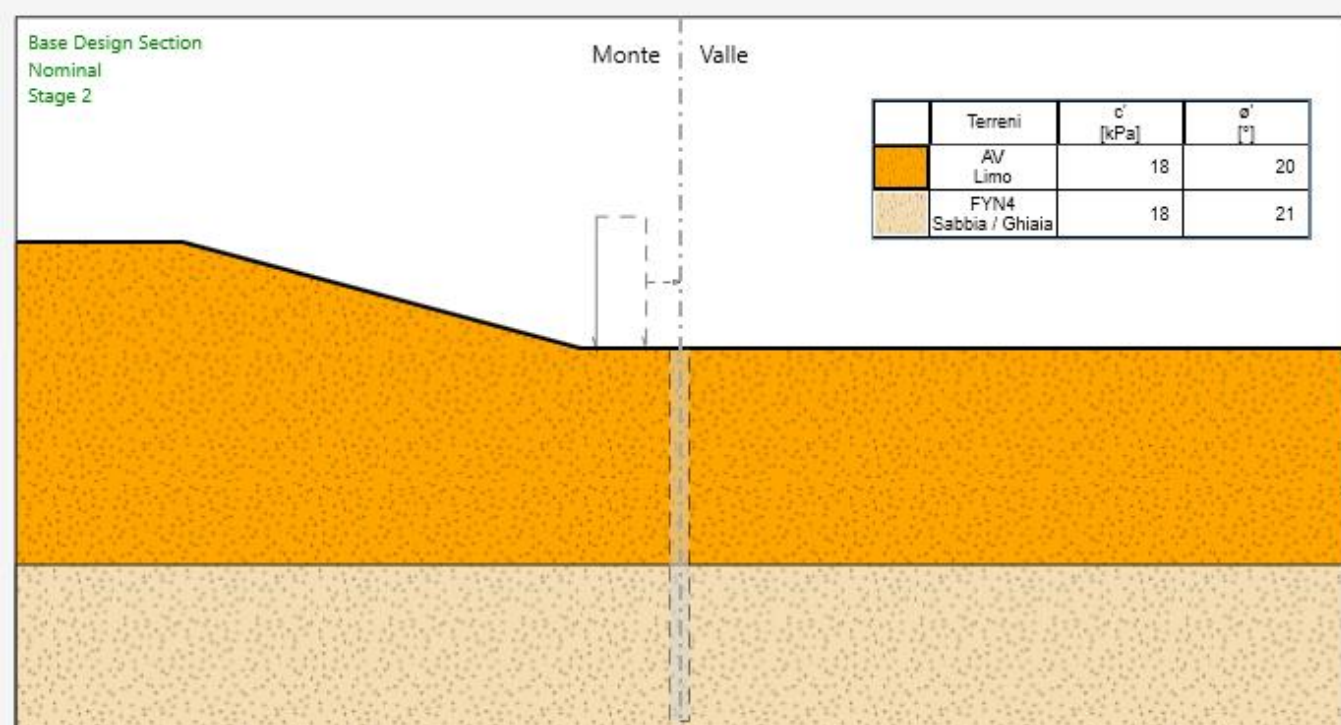
Tabella 11-3 - Parametri per l'analisi sismica

11.2 Fasi di calcolo

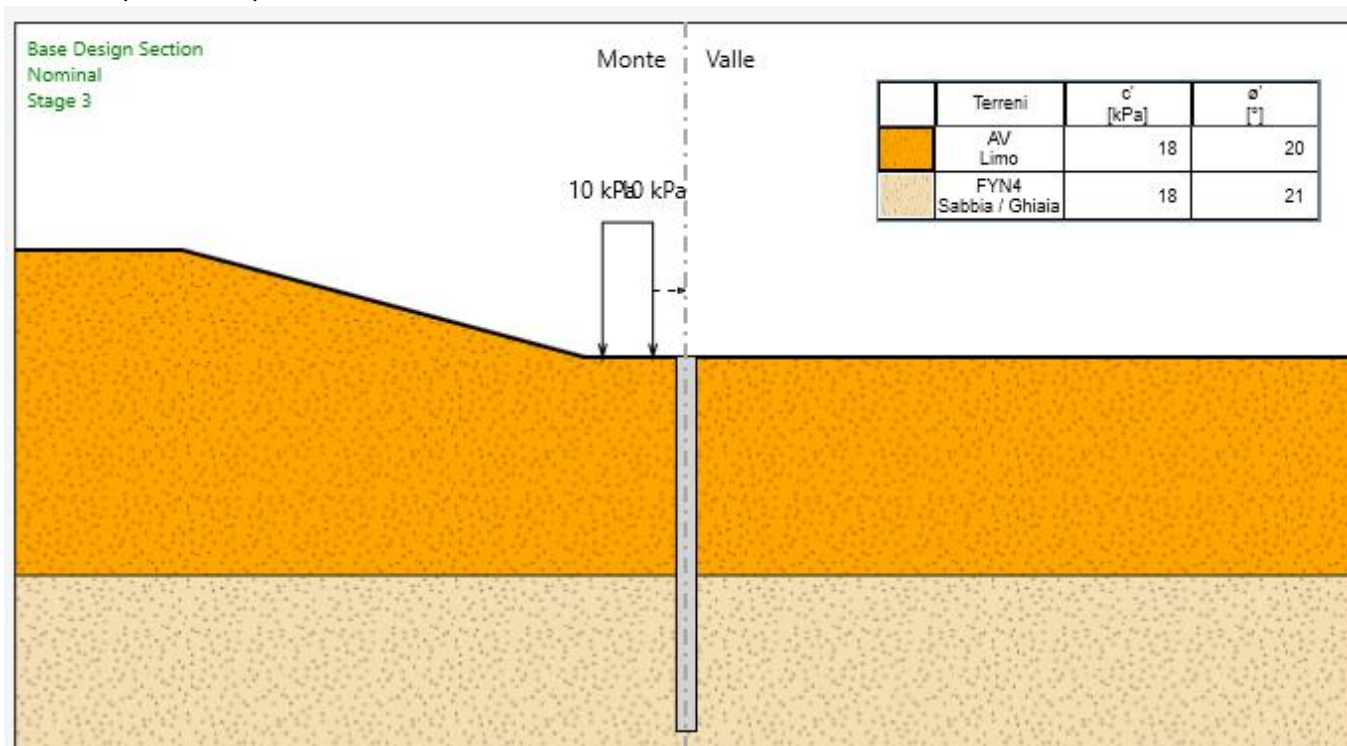
1) Geostatico



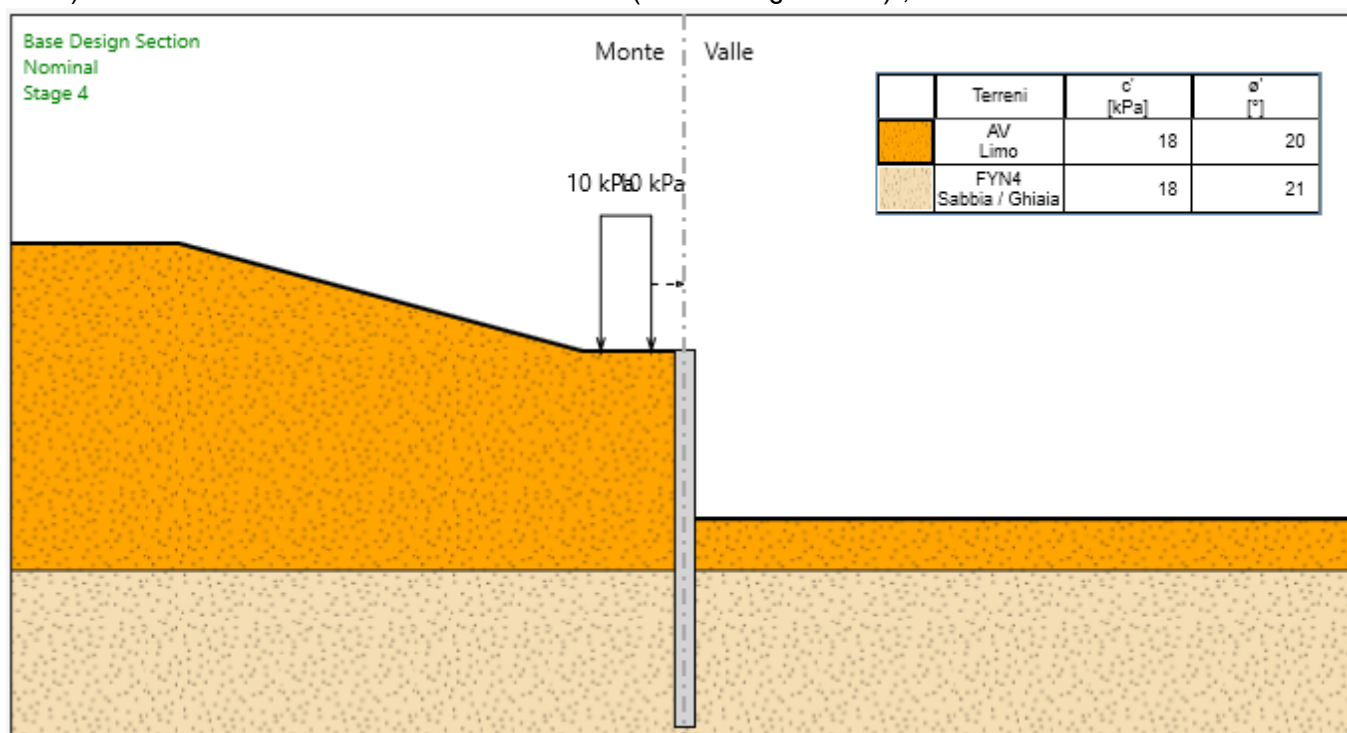
2) Prescavo per realizzazione paratia di pali



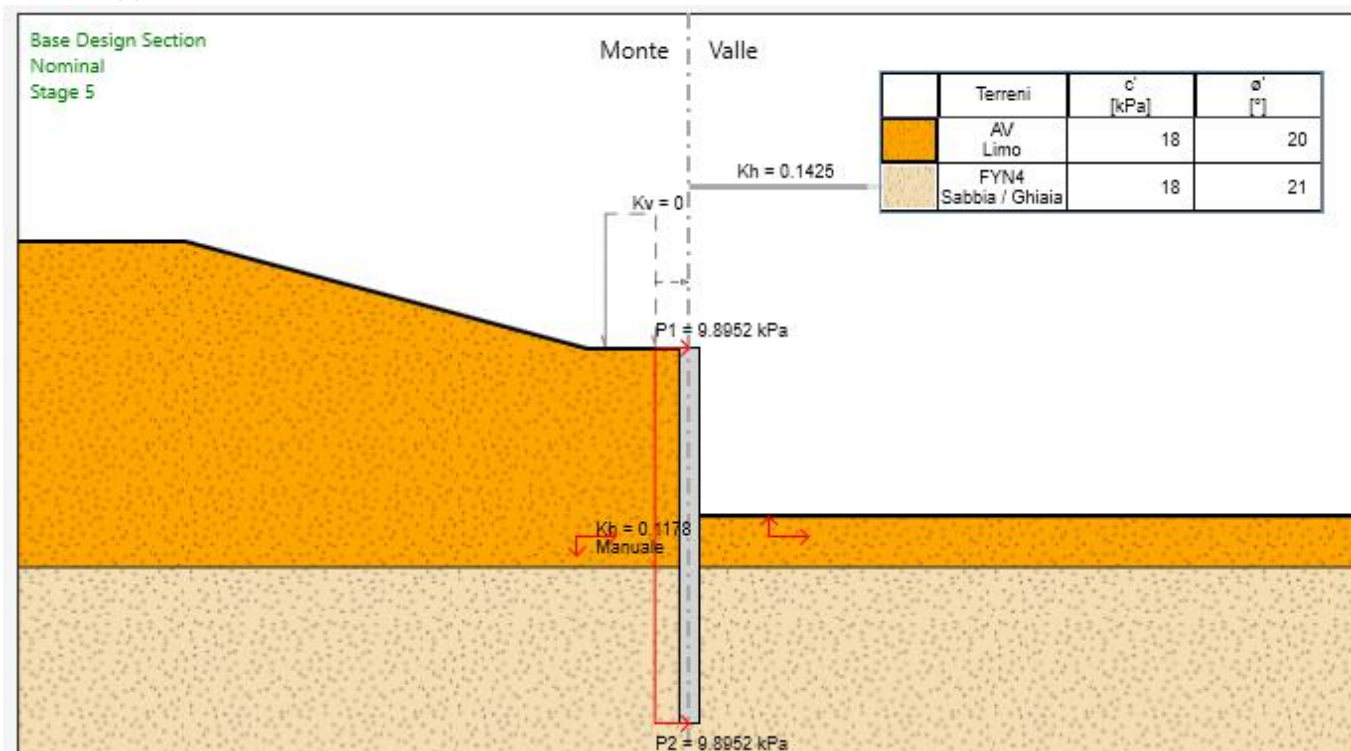
- 3) Applicazione del carico dovuto alla presenza dei macchinari di cantiere (10 kPa) e realizzazione della paratia di pali di diametro 600 mm e interasse 0.80 m



- 4) Scavo fino a "Altezza di scavo di calcolo (DM 2018 § 6.5.2.2)", di 5.00 m



5) Applicazione azione sismica



Applicando l'azione sismica al modello si ha:

$$U_s = 0.005 H_{scavo} = 0.025;$$

α è posto cautelativamente pari a 1;

$$\beta \text{ è pari a } 0.133 \ln(5/U_s) = 0.7047.$$

1. Definizione accelerazione

Coefficiente accel. base a_g / g

Fattore importanza I

Coefficiente S_s

Coefficiente S_T

$a_{max} / g =$

2. Accelerazione di calcolo

Eurocodice

Calcolo coefficiente di risposta R

Input diretto

Da formule

U_s m T_c m/s

V_{max} m/s V_{max}/a_{max} >

R = >

NTC

$U_s =$ m

$\beta =$ >

$\alpha =$ >

$k_h = \alpha \beta a_{max}$

11.3 Risultati delle analisi

A seguire si riportano i diagrammi del momento flettente e del taglio ottenuti dalle analisi.

	Sollecitazioni a metro lineare			Sollecitazioni sul singolo palo	
	M (kNm/m)	z (Mmax) (m)	T (kN/m)	M (kNm)	T (kN)
SLE	47.1	6.2	-	37.7	
SLU	62.7	6.2	41.6	50.2	33.3
SLV	245.9	6.8	86.6	196.7	69.3

Tabella 11-4 – Riepilogo sollecitazioni.

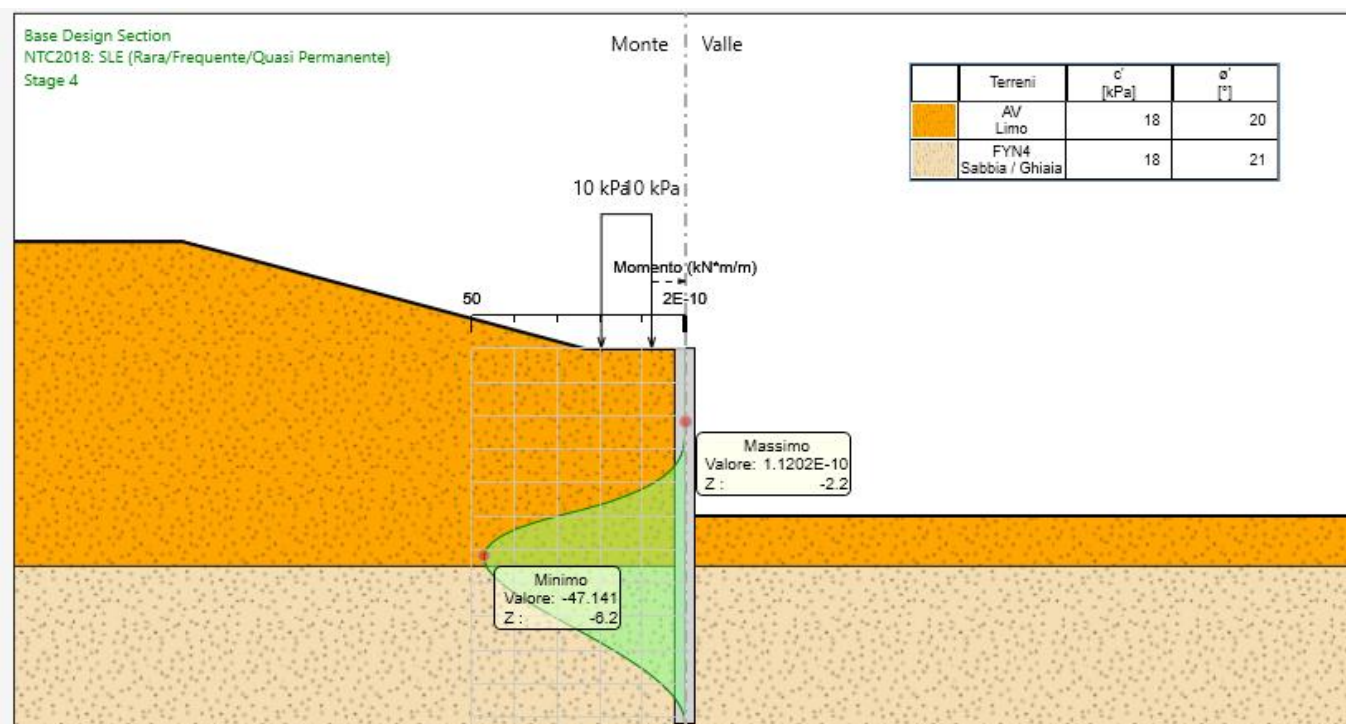


Figura 11-2 – Momento SLE.

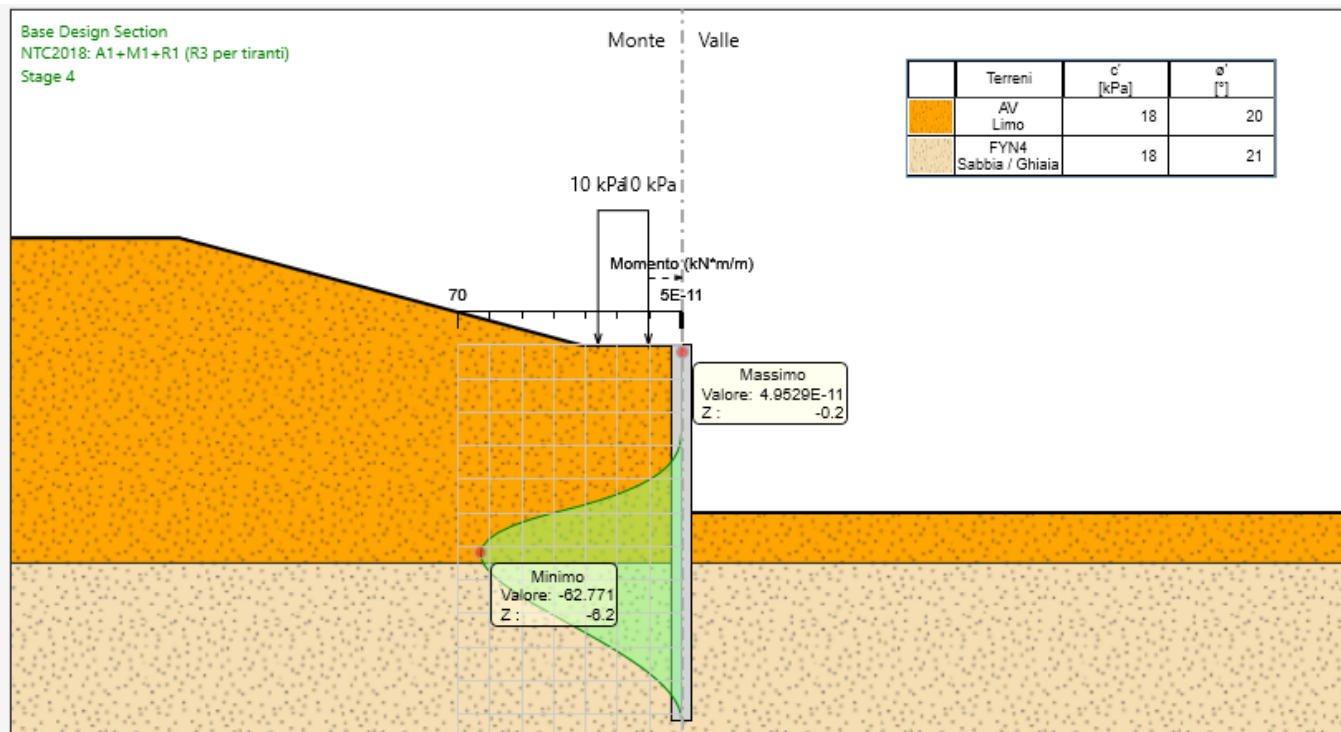


Figura 11-3 – Momento SLU.

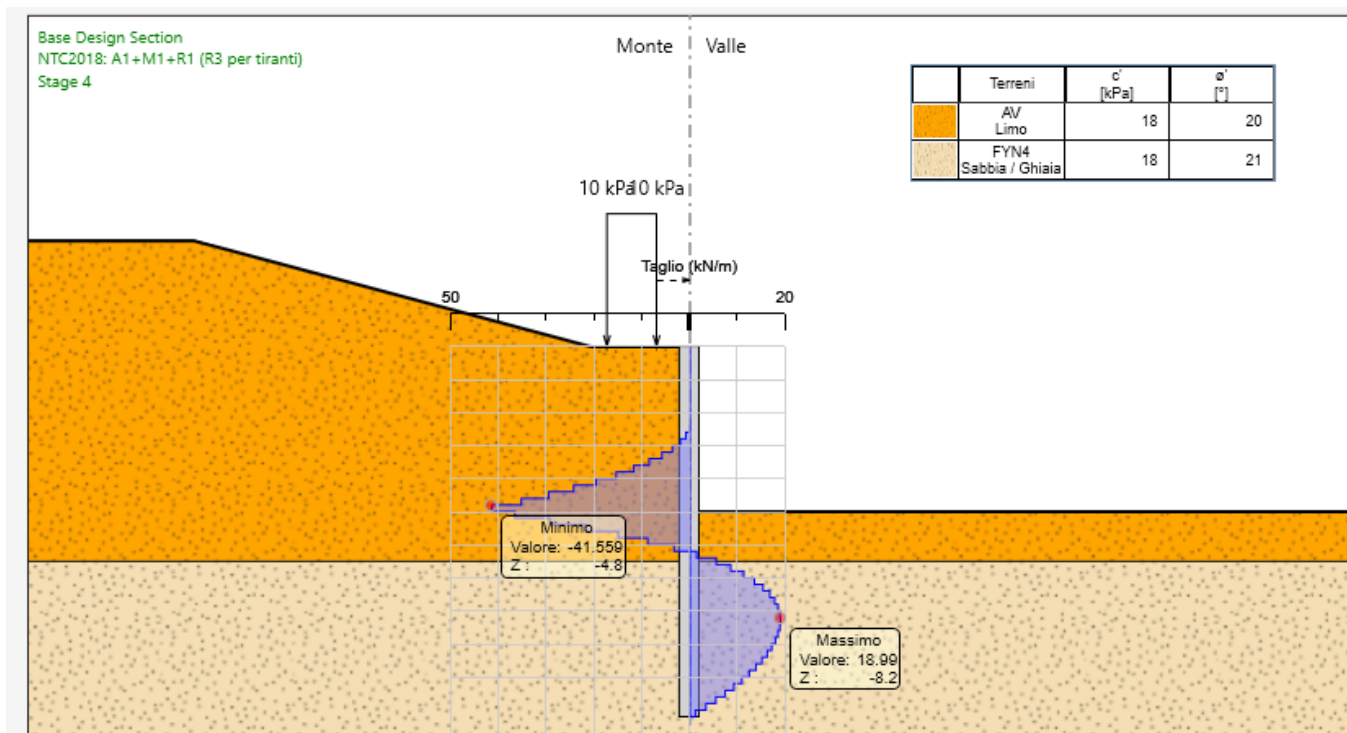


Figura 11-4 – Taglio SLU.

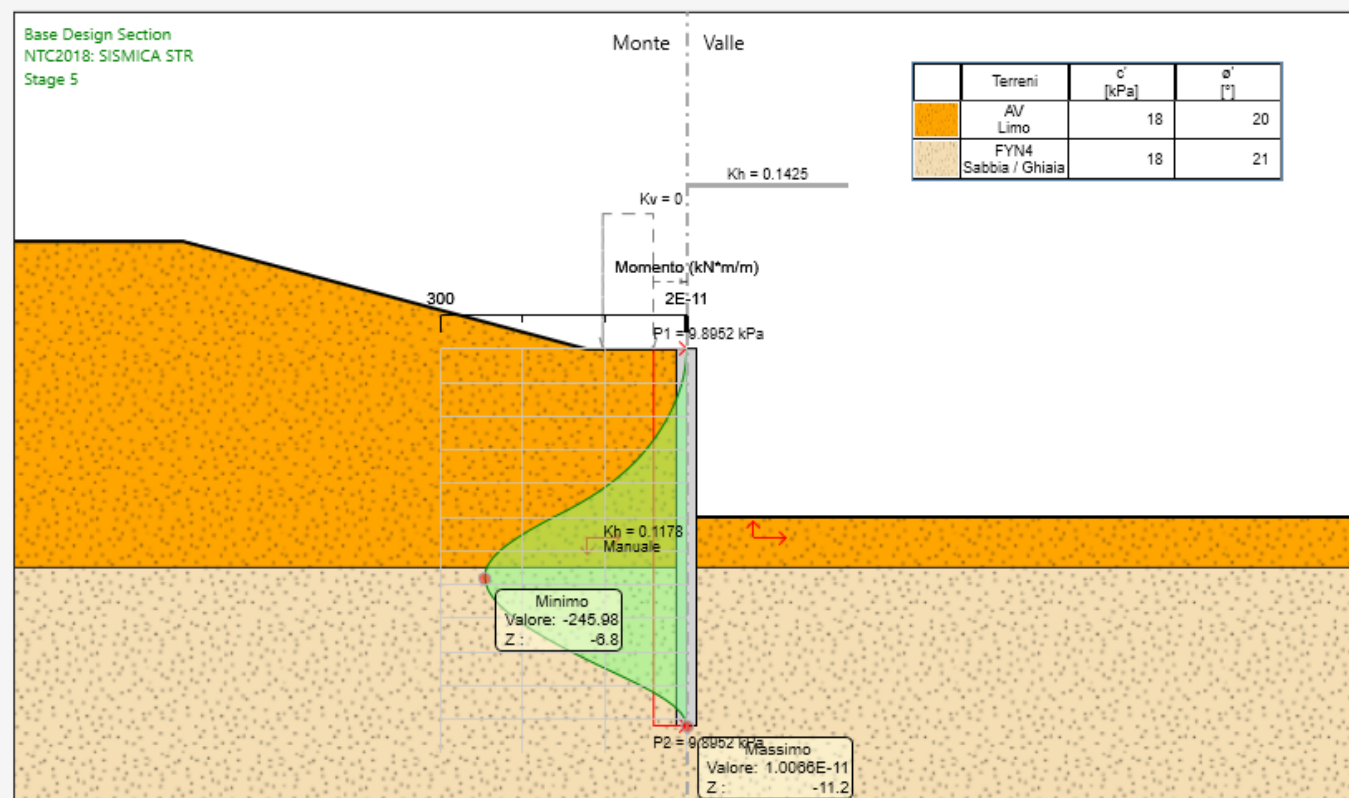


Figura 11-5 – Momento SLV.

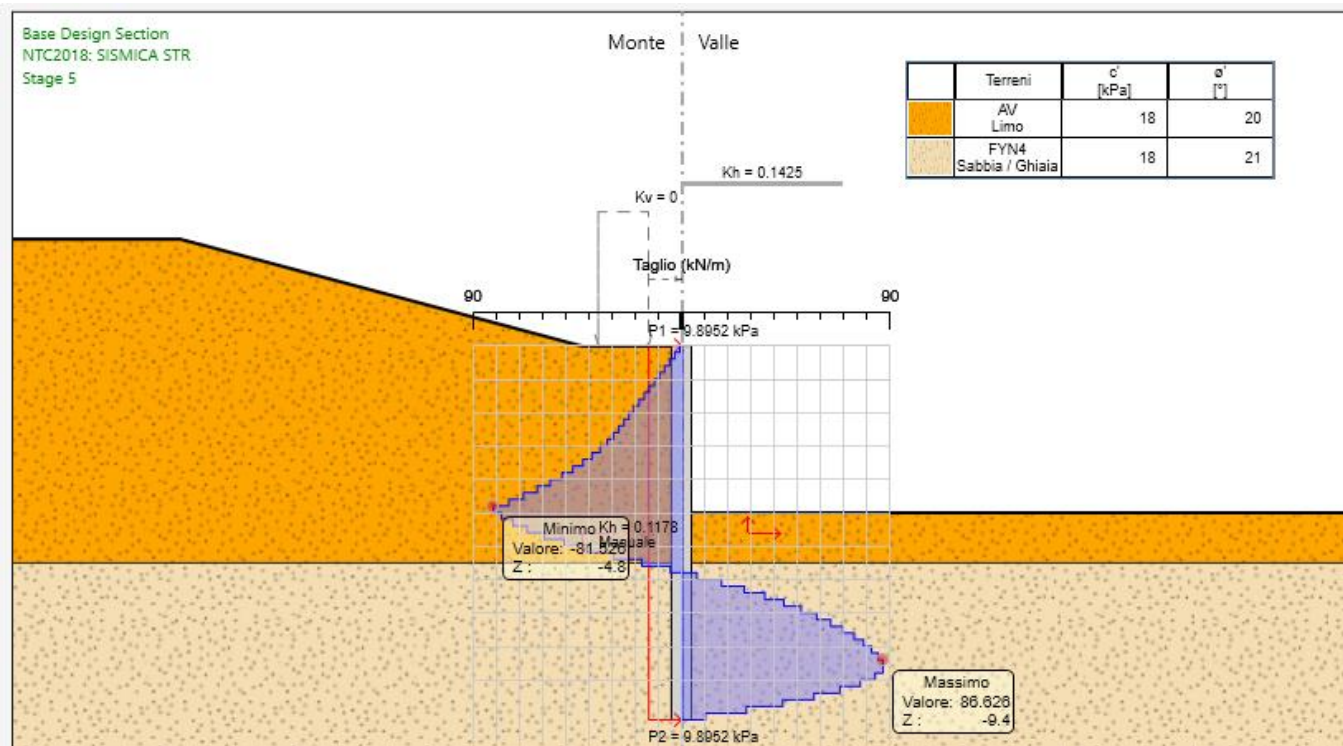


Figura 11-6 – Taglio SLV.

Summary for DA <NTC2018: A2+M2+R1>

Parete <Left Wall>

Max. Rapporto Spinte (Efficace/Passiva) (Lato SX) 0.19 D.A. NTC2018:
A2+M2+R1 (Stage 2)

Max. Rapporto Spinte (Efficace/Passiva) (Lato DX) 0.5 D.A. NTC2018:
A2+M2+R1 (Stage 4)

Summary for DA <NTC2018: SISMICA GEO>

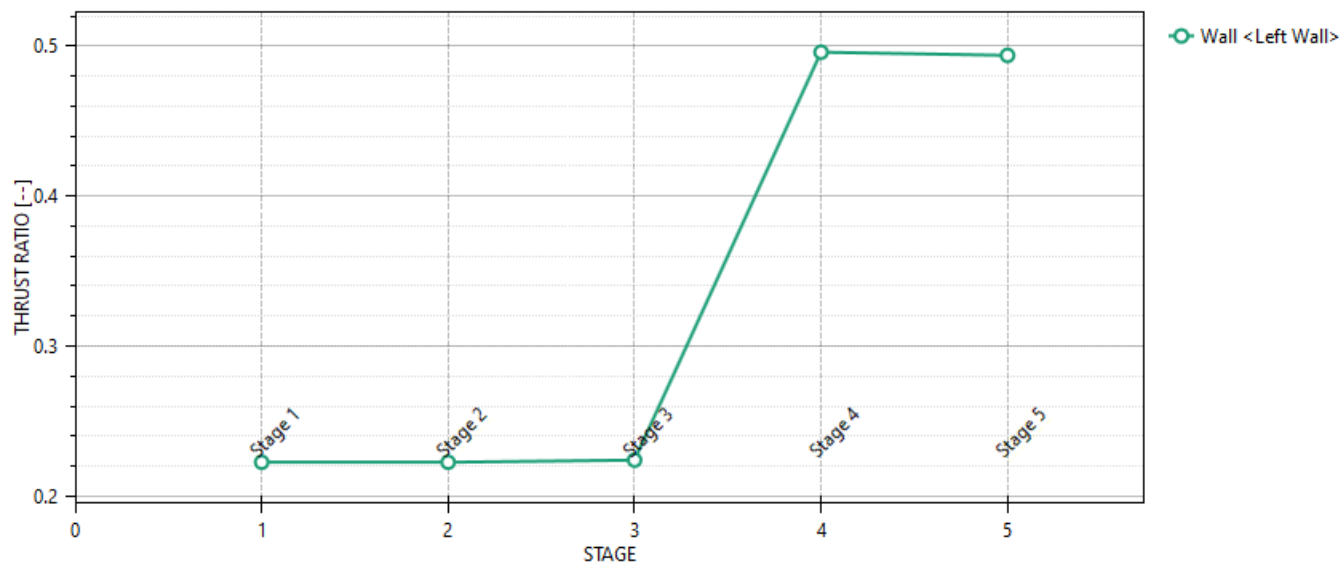
Parete <Left Wall>

Max. Rapporto Spinte (Efficace/Passiva) (Lato SX) 0.15 D.A. NTC2018:
SISMICA GEO (Stage 2)

Max. Rapporto Spinte (Efficace/Passiva) (Lato DX) 0.43 D.A. NTC2018:
SISMICA GEO (Stage 5)

Massimi rapporti di mobilitazione spinta passiva

D.A. <NTC2018: A2+M2+R1>



Design Assumption

NTC2018: A2+M2+R1

Scegli grafico

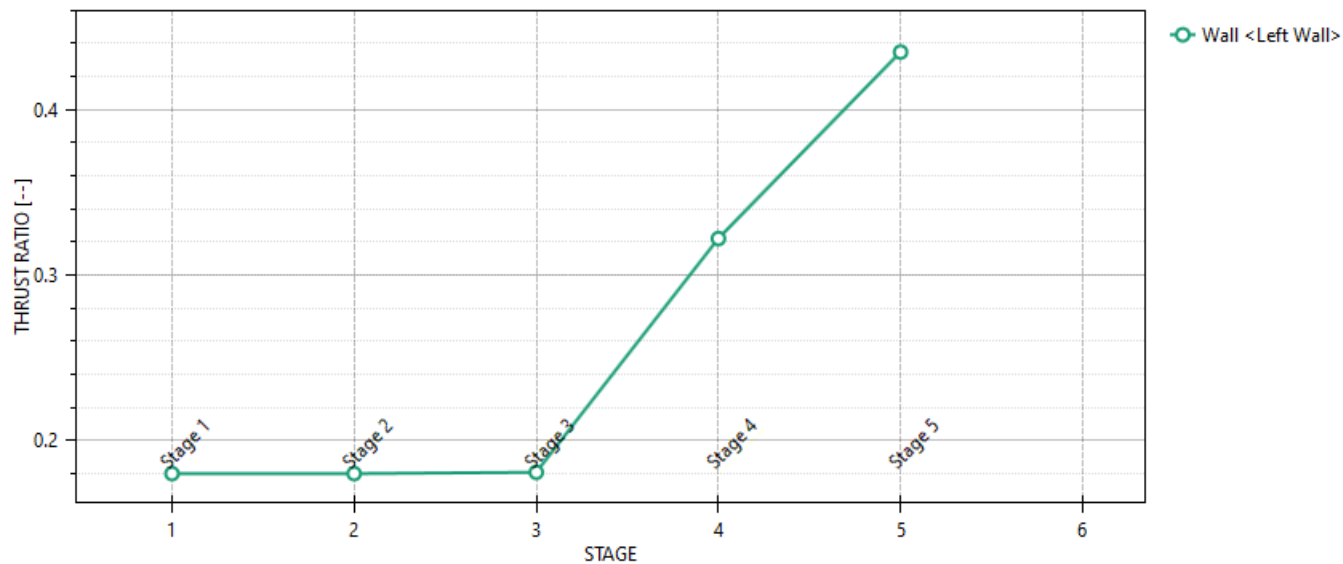
Massimi rapporti di mobilitazione spinta passiva

NV63: OPERE DI PROTEZIONE AL SOLIFLUSSO
MU86G - RELAZIONE DI CALCOLO PARATIA

COMMESSA	LOTTO	CODIFICA	DOCUMENTO	REV.	FOGLIO
RS3T	30 D 78	CL	MU 86 G 0 002	A	29 di 39

Massimi rapporti di mobilitazione spinta passiva

D.A. <NTC2018: SISMICA GEO>



Design Assumption

NTC2018: SISMICA GEO

Scegli grafico

Massimi rapporti di mobilitazione spinta passiva

11.4 Verifiche geotecniche

11.4.1 Verifiche SLE

Nell'immagine che segue si riporta lo spostamento della paratia in fase 4.

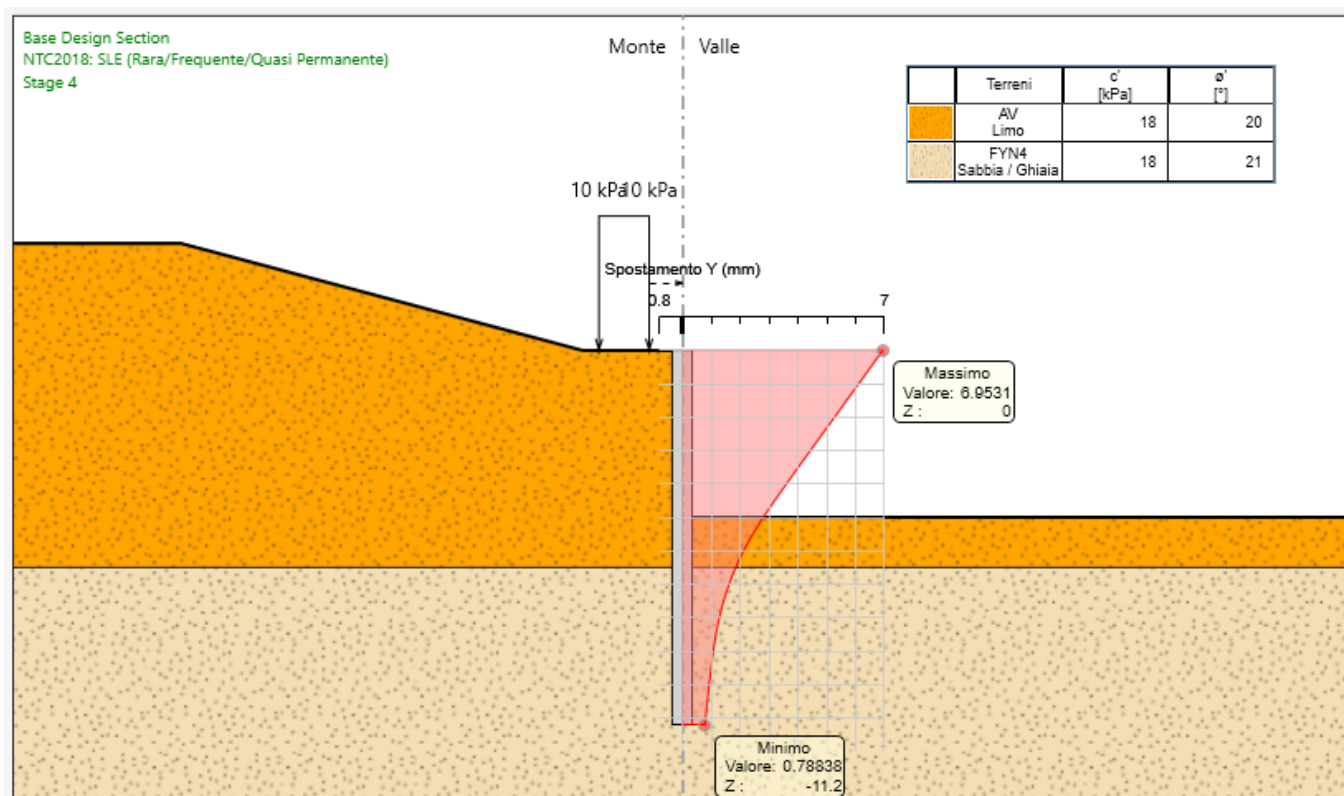
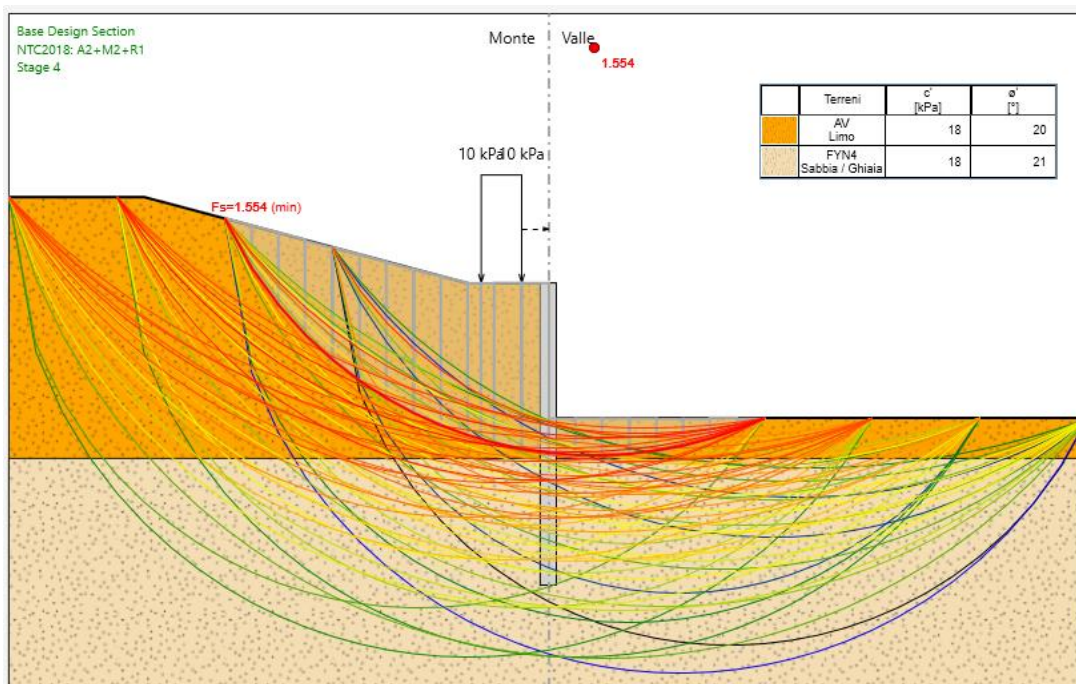


Figura 11-7 – Deformata dell'opera di sostegno nella configurazione di fondo scavo.

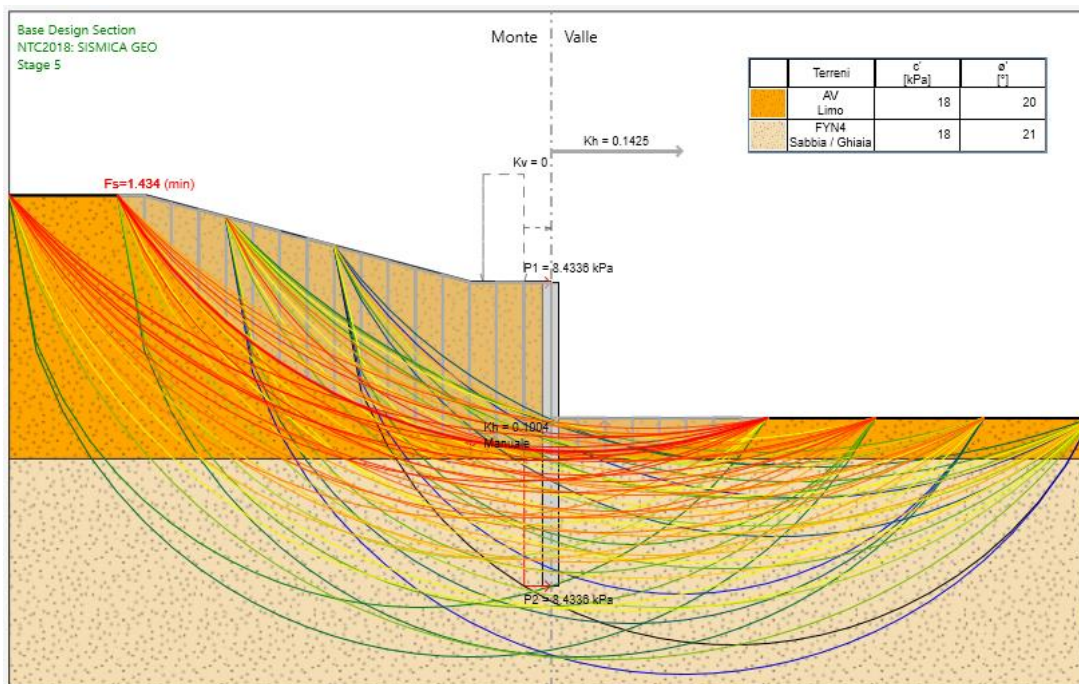
La deformata dell'opera rientra nei limiti progettuali stabiliti.

11.4.2 Verifica di stabilità globale

CONDIZIONI STATICHE: verifica soddisfatta ($2.102 > 1.1$)

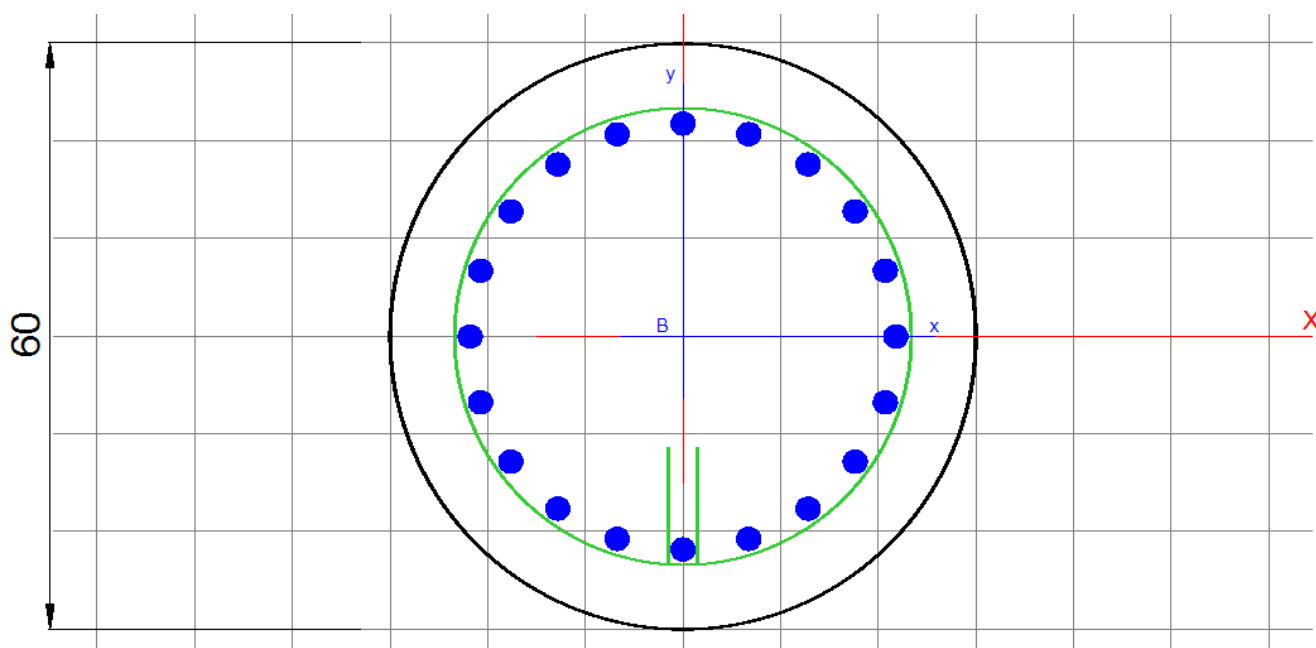


CONDIZIONI SISMICHE: verifica soddisfatta ($1.793 > 1.2$)



11.1 Verifiche strutturali

I pali sono stati armati considerando le sollecitazioni maggiori registrate per l'opera più sollecitata della viabilità NV63 sia in condizioni statiche sia sismiche (MU86F): sono state impiegate 20 barre con diametro $\phi 20$ mm.



Si riportano di seguito le verifiche a taglio e a flessione in condizioni statiche e sismiche.

11.1.1 Verifica a taglio – condizioni statiche

VERIFICA A TAGLIO - SLU						
r	300	mm				
c	82	mm				
rs	218	mm				
α	0.48	rad				
Atot	282743	mm ²				
A	221568	mm ²				
h	559.9	mm	Rck	30		
d	438.8	mm	fck	24.9		
bw	505.0	mm	γ_c	1.5		
$1+(200/d)^{0,5}$	1.675			N.ro		area_ferro
k	1.675		As	12	ϕ	20.0
Asl	3770	mm ²				
Asl/(bw·d)	0.017					
ρ_1	0.017		Vrd	155.3	kN	
vmin	0.379		Ved	33	KN	
vmin·bw·d	83898	N	Vrd/Ved	4.67	-	
Vrd	155267	N				
Non necessita di armatura a taglio						

11.1.2 Verifica a taglio – condizioni sismiche

VERIFICA A TAGLIO - SLV						
r	300	mm				
c	82	mm				
rs	218	mm				
α	0.48	rad				
Atot	282743	mm ²				
A	221568	mm ²				
h	559.9	mm	Rck	30		
d	438.8	mm	fck	24.9		
bw	505.0	mm	γ_c	1.5		
$1+(200/d)^{0,5}$	1.675			N.ro		area_ferro
k	1.675		As	12	ϕ	20.0
Asl	3770	mm ²				
Asl/(bw·d)	0.017					
ρ_1	0.017		Vrd	155.3	kN	
vmin	0.379		Ved	69	KN	
vmin·bw·d	83898	N	Vrd/Ved	2.24	-	
Vrd	155267	N				
Non necessita di armatura a taglio						

La sezione analizzata non necessita armatura a taglio per entrambe le configurazioni (statica e sismica), tuttavia si prevede una spirale $\phi 12$ passo 15 cm a favore di sicurezza.

11.1.3 Verifiche a flessione - condizioni statiche

DATI GENERALI SEZIONE CIRCOLARE DI PALO IN C.A.

Descrizione Sezione:	
Metodo di calcolo resistenza:	Stati Limite Ultimi
Normativa di riferimento:	N.T.C.
Tipologia sezione:	Sezione predefinita di Palo
Forma della sezione:	Circolare
Percorso sollecitazione:	A Sforzo Norm. costante
Condizioni Ambientali:	Poco aggressive
Riferimento Sforzi assegnati:	Assi x,y principali d'inerzia
Riferimento alla sismicità:	Comb. non sismiche

CARATTERISTICHE DI RESISTENZA DEI MATERIALI IMPIEGATI

CALCESTRUZZO -	Classe:	C25/30
	Resistenza compress. di progetto fcd:	14.16 MPa
	Resistenza compress. ridotta fcd':	7.08 MPa
	Deform. unitaria max resistenza ec2:	0.0020
	Deformazione unitaria ultima ecu:	0.0035
	Diagramma tensioni-deformaz.:	Parabola-Rettangolo
	Modulo Elastico Normale Ec:	31475.0 MPa
	Resis. media a trazione fctm:	2.56 MPa
	Coeff.Omogen. S.L.E.:	15.00
	Sc limite S.L.E. comb. Rare:	15.0 MPa
	Sc limite S.L.E. comb. Frequenti:	15.0 MPa
	Ap.Fessure limite S.L.E. comb. Frequenti:	0.400 mm
	Sc limite S.L.E. comb. Q.Permanenti:	11.3 MPa
	Ap.Fess.limite S.L.E. comb. Q.Perm.:	0.300 mm
ACCIAIO -	Tipo:	B450C
	Resist. caratt. a snervamento fyk:	450.0 MPa
	Resist. caratt. a rottura ftk:	450.0 MPa
	Resist. a snerv. di progetto fyd:	391.3 MPa
	Resist. ultima di progetto ftd:	391.3 MPa
	Deform. ultima di progetto Epu:	0.068
	Modulo Elastico Ef:	200000.0 MPa
	Diagramma tensioni-deformaz.:	Bilineare finito
	Coeff. Aderenza istant. $\beta_1 \cdot \beta_2$:	1.00
	Coeff. Aderenza differito $\beta_1 \cdot \beta_2$:	0.50
Comb.Rare - Sf Limite:	360.0 MPa	

CARATTERISTICHE GEOMETRICHE ED ARMATURE SEZIONE

Diametro sezione:	60.0	cm
Barre circonferenza:	20Ø20	(62.8 cm ²)
Coprif.(dal baric. barre):	8.2	cm

CALCOLO DI RESISTENZA - SFORZI PER OGNI COMBINAZIONE ASSEGNATA

N	Sforzo normale [kN] applicato nel baricentro (posit. se di compress.)
Mx	Momento flettente [kNm] intorno all'asse x baric. della sezione con verso positivo se tale da comprimere il lembo sup. della sezione
VY	Taglio [kN] in direzione parallela all'asse Y del riferim. generale
MT	Momento torcente [kN m]

N°Comb.	N	Mx	Vy	MT
---------	---	----	----	----



**DIRETTRICE FERROVIARIA MESSINA – CATANIA – PALERMO
NUOVO COLLEGAMENTO PALERMO – CATANIA
TRATTA LERCARA DIR. – CALTANISSETTA XIRBI (LOTTO 3)
OPERE DI SOSTEGNO VIABILITÀ – LOTTO 3b**

NV63: OPERE DI PROTEZIONE AL SOLIFLUSSO
MU86G - RELAZIONE DI CALCOLO PARATIA

COMMESSA	LOTTO	CODIFICA	DOCUMENTO	REV.	FOGLIO
RS3T	30 D 78	CL	MU 86 G 0 002	A	35 di 39

1	0.00	62.70	41.60	0.00
---	------	-------	-------	------

COMB. RARE (S.L.E.) - SFORZI PER OGNI COMBINAZIONE ASSEGNATA

N Sforzo normale [kN] applicato nel baricentro (positivo se di compress.)
Mx Coppia [kNm] applicata all'asse x baricentrico (tra parentesi il Momento di fessurazione)
con verso positivo se tale da comprimere il lembo superiore della sezione

N°Comb.	N	Mx
1	0.00	37.70

COMB. FREQUENTI (S.L.E.) - SFORZI PER OGNI COMBINAZIONE ASSEGNATA

N Sforzo normale [kN] applicato nel baricentro (positivo se di compress.)
Mx Coppia [kNm] applicata all'asse x baricentrico (tra parentesi il Momento di fessurazione)
con verso positivo se tale da comprimere il lembo superiore della sezione

N°Comb.	N	Mx
1	0.00	37.70 (73.40)

COMB. QUASI PERMANENTI (S.L.E.) - SFORZI PER OGNI COMBINAZIONE ASSEGNATA

N Sforzo normale [kN] applicato nel baricentro (positivo se di compress.)
Mx Coppia [kNm] applicata all'asse x baricentrico (tra parentesi il Momento di fessurazione)
con verso positivo se tale da comprimere il lembo superiore della sezione

N°Comb.	N	Mx
1	0.00	37.70 (73.40)

RISULTATI DEL CALCOLO

Sezione verificata per tutte le combinazioni assegnate

Copriferro netto minimo barre longitudinali:	7.2	cm
Interferro netto minimo barre longitudinali:	4.8	cm
Interferro massimo barre longitudinali:	0.0	cm [deve essere < 0.0]
Copriferro netto minimo staffe:	6.0	cm

VERIFICHE DI RESISTENZA IN PRESSO-TENSO FLESSIONE ALLO STATO LIMITE ULTIMO

Ver S = combinazione verificata / N = combin. non verificata
N Sforzo normale baricentrico assegnato [kN] (positivo se di compressione)
Mx Momento flettente assegnato [kNm] riferito all'asse x baricentrico
N Ult Sforzo normale alla massima resistenza [kN] nella sezione (positivo se di compress.)
Mx rd Momento resistente ultimo [kNm] riferito all'asse x baricentrico
Mis.Sic. Misura sicurezza = rapporto vettoriale tra (N rd, Mx rd) e (N, Mx)
Verifica positiva se tale rapporto risulta ≥ 1.000
Yn Ordinata [cm] dell'asse neutro alla massima resistenza nel sistema di rif. X, Y, O sez.
As Tot. Area complessiva armature long. pilastro [cm²]. (tra parentesi l'area minima di normativa)

N°Comb	Ver	N	Mx	N rd	Mx rd	Mis.Sic.	Yn	x/d	C.Rid.	As Tot.
1	S	0.00	62.70	-0.11	447.16	7.132	10.4	---	---	62.8 (8.5)

DEFORMAZIONI UNITARIE ALLO STATO LIMITE ULTIMO

ec max Deform. unit. massima del calcestruzzo a compressione
Yc max Ordinata in cm della fibra corrisp. a ec max (sistema rif. X, Y, O sez.)
es min Deform. unit. minima nell'acciaio (negativa se di trazione)

NV63: OPERE DI PROTEZIONE AL SOLIFLUSSO
MU86G - RELAZIONE DI CALCOLO PARATIA

COMMESSA	LOTTO	CODIFICA	DOCUMENTO	REV.	FOGLIO
RS3T	30 D 78	CL	MU 86 G 0 002	A	36 di 39

Ys min Ordinata in cm della barra corrip. a es min (sistema rif. X,Y,O sez.)
es max Deform. unit. massima nell'acciaio (positiva se di compressione)
Ys max Ordinata in cm della barra corrip. a es max (sistema rif. X,Y,O sez.)

N°Comb	ec max	Yc max	es min	Ys min	es max	Ys max
1	0.00350	30.0	0.00203	21.8	-0.00576	-21.8

ARMATURE A TAGLIO E/O TORSIONE DI INVILUPPO PER LE COMBINAZIONI ASSEGNATE

Diametro staffe/legature: 12 mm
Passo staffe: 15.0 cm [Passo massimo di normativa = 24.0 cm]
N.Bracci staffe: 2
Area staffe/m : 15.1 cm²/m [Area Staffe Minima NTC = 2.4 cm²/m]

VERIFICHE A TAGLIO

Ver S = comb.verificata a taglio-tors./ N = comb. non verificata
Ved Taglio agente [kN] uguale al taglio Vy di comb. (sollecit. retta)
Vrd Taglio resistente [kN] in assenza di staffe [formula (4.1.23)NTC]
Vcd Taglio compressione resistente [kN] lato calcestruzzo [formula (4.1.28)NTC]
Vwd Taglio trazione resistente [kN] assorbito dalle staffe [formula (4.1.27)NTC]
bw|z Larghezza minima [cm] sezione misurata parallelam. all'asse neutro | Braccio coppia interna
Ctg Cotangente dell'angolo di inclinazione dei puntoni di calcestruzzo
Acw Coefficiente maggiorativo della resistenza a taglio per compressione
Ast Area staffe/metro strettamente necessaria per taglio e torsione [cm²/m]

N°Comb	Ver	Ved	Vcd	Vwd	bw z	Ctg	Acw	Ast
1	S	41.60	485.88	553.00	53.1 37.5	2.500	1.000	1.1

COMBINAZIONI RARE IN ESERCIZIO - VERIFICA MASSIME TENSIONI NORMALI

Ver S = combinazione verificata / N = combin. non verificata
Sc max Massima tensione di compress.(+) nel conglom. in fase fessurata ([MPa])
Yc max Ordinata in cm della fibra corrip. a Sc max (sistema rif. X,Y,O)
Sc min Minima tensione di compress.(+) nel conglom. in fase fessurata ([MPa])
Yc min Ordinata in cm della fibra corrip. a Sc min (sistema rif. X,Y,O)
Ss min Minima tensione di trazione (-) nell'acciaio [MPa]
Ys min Ordinata in cm della barra corrip. a Ss min (sistema rif. X,Y,O)
Dw Eff. Spessore di calcestruzzo [cm] in zona tesa considerata aderente alle barre
Ac eff. Area di congl. [cm²] in zona tesa aderente alle barre (verifica fess.)
As eff. Area Barre tese di acciaio [cm²] ricadente nell'area efficace(verifica fess.)

N°Comb	Ver	Sc max	Yc max	Sc min	Yc min	Ss min	Ys min	Dw Eff.	Ac Eff.	As Eff.	D barre
1	S	2.05	-30.0	0.00	30.0	-43.6	21.8	20.5	1258	28.3	----

COMBINAZIONI RARE IN ESERCIZIO - VERIFICA APERTURA FESSURE (NTC/EC2)

Ver Esito verifica
e1 Minima deformazione unitaria (trazione: segno -) nel calcestruzzo in sez. fessurata
e2 Massima deformazione unitaria (compress.: segno +) nel calcestruzzo in sez. fessurata
K2 = 0.5 per flessione; $= (e1 + e2) / (2 * e2)$ in trazione eccentrica per la (7.13)EC2 e la (C4.1.11)NTC
Kt fattore di durata del carico di cui alla (7.9) dell'EC2
e sm Deformazione media acciaio tra le fessure al netto di quella del cls. Tra parentesi il valore minimo = 0.6 Ss/Es
srm Distanza massima in mm tra le fessure
wk Apertura delle fessure in mm fornito dalla (7.8)EC2 e dalla (C4.1.7)NTC. Tra parentesi è indicato il valore limite.
M fess. Momento di prima fessurazione [kNm]

N°Comb	Ver	e1	e2	e3	K2	Kt	e sm	srm	wk	M Fess.
1	S	-0.00028	0.00015		0.50	0.60	0.000131 (0.000131)	396	0.052 (990.00)	73.40

COMBINAZIONI FREQUENTI IN ESERCIZIO - VERIFICA MASSIME TENSIONI NORMALI

N°Comb	Ver	Sc max	Yc max	Sc min	Yc min	Ss min	Ys min	Dw Eff.	Ac Eff.	As Eff.	D barre
1	S	2.05	-30.0	0.00	30.0	-43.6	21.8	20.5	1258	28.3	---

COMBINAZIONI FREQUENTI IN ESERCIZIO - VERIFICA APERTURA FESSURE (NTC/EC2)

N°Comb	Ver	e1	e2	e3	K2	Kt	e sm	srm	wk	M Fess.
1	S	-0.00028	0.00015		0.50	0.60	0.000131 (0.000131)	396	0.052 (0.40)	73.40

COMBINAZIONI QUASI PERMANENTI IN ESERCIZIO - VERIFICA MASSIME TENSIONI NORMALI

N°Comb	Ver	Sc max	Yc max	Sc min	Yc min	Ss min	Ys min	Dw Eff.	Ac Eff.	As Eff.	D barre
1	S	2.05	-30.0	0.00	30.0	-43.6	21.8	20.5	1258	28.3	---

COMBINAZIONI QUASI PERMANENTI IN ESERCIZIO - VERIFICA APERTURA FESSURE (NTC/EC2)

N°Comb	Ver	e1	e2	e3	K2	Kt	e sm	srm	wk	M Fess.
1	S	-0.00028	0.00015		0.50	0.40	0.000131 (0.000131)	396	0.052 (0.30)	73.40

11.1.4 Verifiche strutturali – condizioni sismiche

DATI GENERALI SEZIONE CIRCOLARE DI PALO IN C.A.

Descrizione Sezione:	
Metodo di calcolo resistenza:	Resistenze in campo sostanzialmente elastico
Normativa di riferimento:	N.T.C.
Tipologia sezione:	Sezione predefinita di Palo
Forma della sezione:	Circolare
Percorso sollecitazione:	A Sforzo Norm. costante
Riferimento Sforzi assegnati:	Assi x,y principali d'inerzia
Riferimento alla sismicità:	Comb. non sismiche

CARATTERISTICHE DI RESISTENZA DEI MATERIALI IMPIEGATI

CALCESTRUZZO -	Classe:	C25/30
	Resistenza compress. di progetto fcd:	14.16 MPa
	Resistenza compress. ridotta fcd':	7.08 MPa
	Deform. unitaria max resistenza ec2:	0.0020
	Deformazione unitaria ultima ecu:	0.0035
	Diagramma tensioni-deformaz.:	Parabola-Rettangolo
	Modulo Elastico Normale Ec:	31475.0 MPa
Resis. media a trazione fctm:	2.56 MPa	
ACCIAIO -	Tipo:	B450C
	Resist. caratt. a snervamento fyk:	450.0 MPa
	Resist. caratt. a rottura ftk:	450.0 MPa
	Resist. a snerv. di progetto fyd:	391.3 MPa
	Resist. ultima di progetto ftd:	391.3 MPa
	Deform. ultima di progetto Epu:	0.068
	Modulo Elastico Ef:	200000.0 MPa
Diagramma tensioni-deformaz.:	Bilineare finito	

CARATTERISTICHE GEOMETRICHE ED ARMATURE SEZIONE

NV63: OPERE DI PROTEZIONE AL SOLIFLUSSO
MU86G - RELAZIONE DI CALCOLO PARATIA

COMMESSA	LOTTO	CODIFICA	DOCUMENTO	REV.	FOGLIO
RS3T	30 D 78	CL	MU 86 G 0 002	A	38 di 39

Diametro sezione: 60.0 cm
Barre circonferenza: 20Ø20 (62.8 cm²)
Coprif.(dal baric. barre): 8.2 cm

CALCOLO DI RESISTENZA - SFORZI PER OGNI COMBINAZIONE ASSEGNATA

N°Comb.	N	Mx	Vy	MT
1	0.00	196.70	69.30	0.00

N Sforzo normale [kN] applicato nel baricentro (posit. se di compress.)
 Mx Momento flettente [kNm] intorno all'asse x baric. della sezione con verso positivo se tale da comprimere il lembo sup. della sezione
 Vy Taglio [kN] in direzione parallela all'asse Y del riferim. generale
 MT Momento torcente [kN m]

RISULTATI DEL CALCOLO

Sezione verificata per tutte le combinazioni assegnate

Coprifero netto minimo barre longitudinali: 7.2 cm
Interfero netto minimo barre longitudinali: 4.8 cm
Interfero massimo barre longitudinali: 0.0 cm [deve essere < 0.0]
Coprifero netto minimo staffe: 6.0 cm

VERIFICHE DI RESISTENZA IN PRESSO-TENSO FLESSIONE ALLO STATO LIMITE SOSTANZIALMENTE ELASTICO

N°Comb	Ver	N	Mx	N re	Mx re	Mis.Sic.	Yn	x/d	C.Rid.	As Tot.
1	S	0.00	196.70			1.669	7.8	---	---	62.8 (8.5)

Ver S = combinazione verificata / N = combin. non verificata
 N Sforzo normale baricentrico assegnato [kN] (positivo se di compressione)
 Mx Momento flettente assegnato [kNm] riferito all'asse x baricentrico
 N Ult Sforzo normale alla massima resistenza [kN] nella sezione (positivo se di compress.)
 Mx re Momento resistente sostanzialmente elastico [kNm] riferito all'asse x baricentrico
 Mis.Sic. Misura sicurezza = rapporto vettoriale tra (N re, Mx re) e (N, Mx)
 Verifica positiva se tale rapporto risulta >=1.000
 Yn Ordinata [cm] dell'asse neutro alla massima resistenza nel sistema di rif. X,Y,O sez.
 As Tot. Area complessiva armature long. pilastro [cm²]. (tra parentesi l'area minima di normativa)

DEFORMAZIONI UNITARIE ALLO STATO LIMITE SOSTANZIALMENTE ELASTICO

N°Comb	ec max	Yc max	es min	Ys min	es max	Ys max
1	0.00147	30.0	0.00093	21.8	-0.00196	-21.8

ec max Deform. unit. massima del calcestruzzo a compressione
 Yc max Ordinata in cm della fibra corrisp. a ec max (sistema rif. X,Y,O sez.)
 es min Deform. unit. minima nell'acciaio (negativa se di trazione)
 Ys min Ordinata in cm della barra corrisp. a es min (sistema rif. X,Y,O sez.)
 es max Deform. unit. massima nell'acciaio (positiva se di compressione)
 Ys max Ordinata in cm della barra corrisp. a es max (sistema rif. X,Y,O sez.)

ARMATURE A TAGLIO E/O TORSIONE DI INVILUPPO PER LE COMBINAZIONI ASSEGNATE

Diametro staffe/legature: 12 mm
Passo staffe: 15.0 cm [Passo massimo di normativa = 16.0 cm]



**DIRETTRICE FERROVIARIA MESSINA – CATANIA – PALERMO
 NUOVO COLLEGAMENTO PALERMO – CATANIA
 TRATTA LERCARA DIR. – CALTANISSETTA XIRBI (LOTTO 3)
 OPERE DI SOSTEGNO VIABILITÀ – LOTTO 3b**

NV63: OPERE DI PROTEZIONE AL SOLIFLUSSO
 MU86G - RELAZIONE DI CALCOLO PARATIA

COMMESSA	LOTTO	CODIFICA	DOCUMENTO	REV.	FOGLIO
RS3T	30 D 78	CL	MU 86 G 0 002	A	39 di 39

N.Bracci staffe: 2
 Area staffe/m : 15.1 cm²/m [Area Staffe Minima NTC = 3.5 cm²/m]

VERIFICHE A TAGLIO

- Ver S = comb.verificata a taglio-tors./ N = comb. non verificata
- Ved Taglio agente [kN] uguale al taglio Vy di comb. (sollecit. retta)
- Vrd Taglio resistente [kN] in assenza di staffe [formula (4.1.23)NTC]
- Vcd Taglio compressione resistente [kN] lato calcestruzzo [formula (4.1.28)NTC]
- Vwd Taglio trazione resistente [kN] assorbito dalle staffe [formula (4.1.27)NTC]
- bw|z Larghezza minima [cm] sezione misurata parallelam. all'asse neutro | Braccio coppia interna
- Ctg Cotangente dell'angolo di inclinazione dei puntoni di calcestruzzo
- Acw Coefficiente maggiorativo della resistenza a taglio per compressione
- Ast Area staffe/metro strettamente necessaria per taglio e torsione [cm²/m]

N°Comb	Ver	Ved	Vcd	Vwd	bw z	Ctg	Acw	ASt
1	S	69.30	476.37	534.41	53.9 36.2	2.500	1.000	2.0